

題目

単球遺伝子発現プロファイルを用いた
急性 GVHD 治療標的分子の探索

こば やしあ やこ
小 林 彩 香

(血液病学専攻)

防衛医科大学校

平成 25 年度

目 次

| | |
|---|---------|
| 第1章 研究の背景 | 1-5 頁 |
| 第2章 サイトカイン誘導マクロファージモデルと造血幹細胞移植患者単球の遺伝子発現プロファイル | |
| 第1節 研究材料と方法 | |
| 1-1 倫理審査 | 6 頁 |
| 1-2 患者背景 | 6 頁 |
| 1-3 末梢血単球の分離 | 6 頁 |
| 1-4 サイトカイン誘導マクロファージモデルの作成 | 6-7 頁 |
| 1-5 マイクロアレイ解析 | 7-8 頁 |
| 第2節 結果 1: サイトカイン誘導マクロファージモデルの遺伝子発現プロファイル | |
| 2-1 サイトカイン誘導マクロファージモデルの遺伝子発現変化 | 8 頁 |
| 2-2 階層的クラスタリング解析 | 8-9 頁 |
| 2-3 遺伝子オントロジー解析 | 9 頁 |
| 2-4 Gene Set Enrichment Analysis | 9-11 頁 |
| 第3節 結果 2: 造血幹細胞移植患者単球の遺伝子発現プロファイル | |
| 3-1 造血幹細胞移植患者単球の遺伝子発現変化 | 11 頁 |
| 3-2 Toll like receptor(TLR) signaling pathway および NOD like receptor(NLR) signaling pathway における階層的クラスタリング解析 | |
| 3-3 急性 GVHD 発症患者における TAK1 遺伝子の発現増加 | 11-12 頁 |

第4節 小括

12-13 頁

第3章 単球系細胞における TAK1 の機能解析

第1節 研究材料と方法

| | | |
|-----|--------------------|---------|
| 1-1 | 5Z-7-Oxozeaenol | 14 頁 |
| 1-2 | サイトカインアレイ | 14 頁 |
| 1-3 | リアルタイム RT-PCR | 14-15 頁 |
| 1-4 | 同種リンパ球混合試験 | 15-16 頁 |
| 1-5 | 同種樹状細胞による T 細胞の活性化 | 16-17 頁 |

第2節 結果

| | | |
|-----|--|---------|
| 2-1 | 5Z-7-Oxozeaenol による TAK1 阻害が LPS 刺激下単球の炎症性サイトカインに及ぼす効果 | 17 頁 |
| 2-2 | 5Z-7-Oxozeaenol による TAK1 阻害が LPS 刺激下単球の TNF α の転写に及ぼす効果 | 17-18 頁 |
| 2-3 | 5Z-7-Oxozeaenol による TAK1 阻害が同種リンパ球混合試験におけるリンパ球の活性化に及ぼす効果 | 18 頁 |
| 2-4 | 5Z-7-Oxozeaenol による TAK1 阻害が同種樹状細胞による T 細胞の活性化に及ぼす効果 | 18 頁 |

第3節 小括

18-19 頁

第4章 考察

20-22 頁

第5章 総括および結論

23 頁

謝辞

引用文献

図表

第1章 研究の背景

同種造血幹細胞移植(allogeneic hematopoietic stem cell transplantation: allo-HSCT)は、予後不良の造血器腫瘍に治癒をもたらし得る有効な治療として確立されてきた。ドナー選択や幹細胞供給源の多様化、レシピエントの前処置法の開発により allo-HSCT の適応が広がる一方で、急性移植片対宿主病(Graft versus host disease: GVHD)は allo-HSCT 後の非再発死亡や Quality of life 低下の主要因であり、改善の必要がある。

急性 GVHD は、ドナー由来の T 細胞が、ヒト白血球抗原(Human leukocyte antigens: HLAs)分子やマイナー組織適合性抗原(minor histocompatibility antigens: mHAs)分子を標的として、宿主の皮膚、消化管、肝臓等の組織を傷害する免疫反応である。典型的には、斑状の皮疹、嘔気、嘔吐、水様下痢等の消化器症状、胆汁うつ滯性肝炎等の臨床症状を呈する。従来は移植後 100 日までに発症するものを急性 GVHD としていたが、現在は発症時期を問わず、典型的な症状をもって診断する(1)。

急性 GVHD の発症のリスクとして、ドナーと患者間における HLA の不一致があげられる(2)。しかし、HLA 一致血縁ドナーからの移植においても約 40%で急性 GVHD が発症すると報告されており、HLA の不一致以外の急性 GVHD のリスクについて広く検討されてきた(3)。これによると、ドナーの選択においては、非血縁間移植、女性ドナーから男性患者への移植、ABO 型血液型のマイナーミスマッチ等は急性 GVHD の発症を増加させることが報告されている(4, 5)。また、移植幹細胞中の制御性 T 細胞(Regulatory T-cell: Treg)の割合と急性 GVHD の発症との関連が報告され、臨床応用が試みられている(6)。患者側の要素としては、骨髄破壊的前処置、特に全身放射線照射(Total body irradiation: TBI)は急性 GVHD の発症を増加させることや、移植後早期の消化管傷害が急性 GVHD の発症を増加させることなどが報告され

ている(3)。

急性GVHDの免疫病態生理として、3-step modelが提唱されている(7)。はじめに、TBIや抗がん剤等の移植前処置によって傷害された宿主の組織から、腫瘍壊死因子(Tumor necrosis factor- α : TNF α)やInterleukin-1(IL-1), IL-6などの炎症性サイトカインが放出される。また腸管粘膜傷害によって、lipopolysaccharide(LPS)などの細菌菌体成分の血中への流入がおこる。これらの内因性、外因性刺激により宿主の樹状細胞(Dendritic cell: DC)をはじめとする抗原提示細胞(Antigen presenting cell: APC)が活性化される(Step 1)。次のステップでは、宿主APCによるドナーT細胞の活性化がおこる。アロ抗原提示を受けて活性化されたドナーT細胞は、Th1細胞となり、Interferon(IFN)- γ やIL-2などのサイトカインを産生し、細胞傷害性T細胞(cytotoxic T lymphocyte: CTL)を誘導する(Step 2)。最終ステップでは、これらのCTLがエフェクター細胞として働き、炎症性サイトカインとともに組織傷害を引き起こす(Step 3)。さらにTh1細胞が産生するIFN- γ により活性化されたマクロファージから炎症性サイトカインが産生され、GVHDが増幅される(図1)。

自然免疫を司るDCやマクロファージは、病原体固有の構造(Pathogen-associated molecular patterns: PAMPs)を認識するパターン認識受容体(Pattern-recognition receptors: PRRs)を細胞膜表面あるいは細胞質内に発現しており、これにより外部由来の病原体を認識し、インターフェロンや炎症性サイトカイン、ケモカイン等を産生することにより感染初期の生体防御に重要な役割を果たしている(8)。PRRsのうち、Toll様受容体(Toll-like receptor: TLR)や、NOD様受容体(Nod-like receptor: NLR)については、急性GVHDとの関連が多く検討されている。TLRはヒトではTLR1からTLR10までの10種類が確認されている。このうちTLR1, 2, 4, 5, 6, 7, 9は細菌由来のPAMPsを認識し、TLR1, 2, 4, 5, 6の下流では炎症性サイトカイン

を、TLR7, 9 の下流では I 型インターフェロンを産生する。TLR4 は細胞表面に存在し、グラム陰性桿菌由来の LPS を認識する。Allo-HSCT における後方視的解析では、ドナーあるいは患者の TLR4 における遺伝子変異は急性 GVHD の発症を減少させたが、グラム陰性桿菌による感染は増加したとの報告がある一方で(9)、急性 GVHD の発症を増加させたとの報告もある(10)。TLR9 は細胞内に存在し、細菌の DNA を認識する。急性骨髓性白血病患者に対する allo-HSCT の後方視的解析において、患者の TLR9 における遺伝子変異は急性 GVHD の発症には明らかな関連を認めなかつたが、5 年生存率を有意に延長させたと報告されている(11)。また、GVHD モデルマウスを用いた研究では、TLR9 遺伝子ノックアウトにより腸管 GVHD による死亡が減少したと報告されている(12)。TLR5 は細胞表面に存在し細菌の鞭毛を認識するが、GVHD モデルマウスを用いた研究では、TLR5 のアゴニストである flagellin を予防投与することにより、TBI による腸管傷害の緩和、炎症性サイトカインの産生の低下、ドナー由来の制御性 T 細胞の増加等を通じて急性 GVHD が軽減することが報告され、臨床への応用が期待される(13)。NLR はヒトでは 23 種類確認されているが、主に NOD2 と急性 GVHD との関連が検討されている。NOD2 は細胞質内に存在し、細菌の細胞壁成分であるペプチドグリカンを認識し、下流で炎症性サイトカインの転写を亢進させる(8)。Allo-HSCT における後方視的解析では、患者の NOD2 における遺伝子変異は急性 GVHD を増加させることが報告されている(11)。

マクロファージは、骨髓系共通幹細胞から Granulocyte-macrophage colony stimulating factor (GM-CSF) および、Macrophage colony stimulating factor (M-CSF) により分化した単球に由来し、循環血中からそれぞれの組織に移行して分布する。生体内の微小環境の影響により、様々な活性化状態にあることが知られている。ヒトにおけるマクロファージの研究の多くは、末梢血単球から *in vitro* でサイトカインにより誘導したマクロファージを用

いており、誘導に用いたサイトカインがマクロファージの性質に影響している可能性がある。実際、ヒト末梢血単球にサイトカインを加えて培養することにより、異なる性質のマクロファージや DC が誘導されることが報告されている(14)。GM-CSF により誘導されたマクロファージは炎症惹起性で、LPS 刺激に対して IL-23, IL-12 などの炎症性サイトカインを産生し、Th1 に対し促進的に作用する(15)。活性化 T 細胞や natural killer 細胞等で産生されるサイトカイン IL-32 により誘導されたマクロファージは、IL-1 β や IL-6 などの炎症性サイトカインを産生する(16)。一方 M-CSF により誘導されたマクロファージは抗炎症性サイトカイン IL-10 を産生し、Th1 に抑制的に作用する。M-CSF 同様に c-fms のリガンドである IL-34 によっても、IL-10 を産生する抗炎症性マクロファージが誘導される(17)。M-CSF はヒト血中に安定して存在していることから、生体内マクロファージの定常状態は M-CSF 誘導マクロファージに近いと考えられている(18)。同様に GM-CSF と IL-4 により DC が誘導される(19)。

GVHD モデルマウスによる研究では、M-CSF の移植前投与により GVHD の発症及び関連死亡率が減少することが報告されている(20)。同じくマウスにおいて、IL-32 を抑制することで、急性 GVHD の発症および関連死亡率が減少することが報告されている(21)。これらのサイトカインが、マクロファージの活性化状態に影響し、急性 GVHD の発症や重症度に関与している可能性が示唆される。しかしながら、実際の移植環境下におけるマクロファージの活性化状態と急性 GVHD の発症、程度との関連は未解明である。

本研究の目的は、ヒト単球からサイトカインにより誘導したマクロファージの遺伝子発現プロファイルをもとに、生体内の炎症や自然免疫におけるそれぞれのマクロファージの機能について解析し、さらに、ヒト同種造血幹細胞移植環境下における末梢血単球の遺伝子発現プロファイルを用いて、単球の活性化状態と急性 GVHD の発症および病態との関連を明らかにす

るものである。

第2章 サイトカイン誘導マクロファージモデルと造血幹細胞移植患者単球の遺伝子発現プロファイル

第1節 研究材料と方法

1-1 倫理審査

研究プロトコールは防衛医科大学校倫理委員会によって承認され(第 812 号)、全ての症例および健常被験者からインフォームドコンセントを得た。

1-2 患者背景

2010 年 11 月から 2012 年 9 月の間に当科において allo-HSCT を受けた造血器腫瘍患者 9 名を対象とし、移植幹細胞の生着後に末梢血から単球を採取した(表 1)。移植時の患者の年齢は 39 歳から 65 歳(中央値 45 歳)、男性が 4 名、幹細胞ソースの内訳は非血縁骨髄が 5 名、血縁骨髄が 2 名、臍帯血が 2 名であった。HLA 一致度は、1 抗原不一致が 1 名、2 抗原不一致が 1 名、3 抗原不一致が 2 名であった。5 名が骨髓破壊的、2 名が非破壊的前処置を受けた。GVHD 予防にはカルシニューリン阻害剤(タクロリムスあるいはシクロスボリン)が投与され、1 名を除いて短期メソトレキセートが併用された。日本造血細胞移植学会のガイドラインに従って、急性 GVHD の診断および重症度を判定した(22)。

1-3 末梢血単球の分離

4 名の健常被験者(男性 2 名、女性 2 名)および 9 名の allo-HSCT を受けた患者から末梢血 20mL を採取し、RosetteSep human monocyte enrichment cocktail (Stemcell Technologies, Vancouver, Canada) を使用し、単球を分離した。サイトスピノ標本のライトギムザ(WG) 染色による形態観察では単球分画は 85% 以上含まれていた。

1-4 サイトカイン誘導マクロファージモデルの作成

健常被験者から採取した単球にサイトカイン刺激を加え、サイトカ

イン誘導マクロファージを作成した。末梢血から分離した単球を 1×10^6 個/ml の濃度とし、24well プレートに 1 ml/well の細胞浮遊液に調整した。培地には 10%の非働化したウシ胎児血清 (Thermo, Melbourne, Australia) を加えた RPMI-1640 (Sigma, St Louis, USA) を用いた。炎症性マクロファージモデルは IL-32 γ (IL-32-MΦ) あるいは GM-CSF (GM-MΦ) 添加によって作成した。Recombinant Human IL-32 γ (R&D systems, Minneapolis, USA) 600ng/ml、あるいは Recombinant Human GM-CSF (Milteny Biotec, Bergisch Gladbach, Germany) 250ng/ml を加え、37°C 5%CO₂ で 7 日間培養した。培地およびサイトカインは 72 時間に一回交換した(14, 23)。抗炎症性マクロファージモデルは M-CSF (M-MΦ) あるいは IL-34 (IL-34-MΦ) 添加によって作成した。Recombinant Human M-CSF (Milteny Biotec) 100ng/ml、あるいは Recombinant Human IL-34 (R&D systems) 100ng/ml を加え、上記の培養条件により培養した。培養後 total RNA を抽出しマイクロアレイ解析を行った。

1-5 マイクロアレイ解析

分離後の単球あるいは培養後のマクロファージから RNeasy ミニキット (Qiagen, Hilden, Germany) を用いて total RNA を分離、精製した。5 μ g の total RNA をテンプレートとし、Ovation RNA Amplification System V2 (NuGen, San Carlos, USA) を用いてランダムプライマーおよび polyT プライマーにより二重鎖 cDNA プローブを合成した。cDNA を Cy3 で標識し、マイクロアレイにハイブリダイズさせた。オリゴヌクレオチドマイクロアレイは、24,000 遺伝子のプローブが配置された NimbleGen Gene Expression Array (Roche NimbleGen Inc., Madison, Wisconsin, USA) を用いた。42°C で 16 時間のインキュベーションを実施した後、NimbleGen MS 200 Microarray Scanner (Roche NimbleGen Inc.) でスキャンを実施し、NimbleGen DEVA software (Roche NimbleGen Inc.) を用いて Robust

Multi-chip Analysis アルゴリズムによるデータの標準化を行った。標準化したデータは GeneSpringGX11(Agilent Technologies, CA, USA)により解析した。分子間ネットワーク解析およびパスウェイ解析には Gene Set Enrichment Analysis(GSEA) ソフトウェア (<http://www.broadinstitute.org/gsea/msigdb/index.jsp>) を用いた。

第2節 結果 1: サイトカイン誘導マクロファージモデルの遺伝子発現プロファイル

2-1 サイトカイン誘導マクロファージモデルの遺伝子発現変化

IL-32-MΦ、GM-MΦ、M-MΦ、IL-34-MΦの遺伝子発現データを標準化の後に GeneSpring にとりこみ、Filter on expression により発現量 20% 以下のデータを除外した。24,000 個中 19,198 個の遺伝子発現データが抽出され、これを解析対象とした。

M-MΦを基準とし、IL-32-MΦ、GM-MΦ、IL-34-MΦにおける遺伝子発現を比較した(表 2)。TNF α induced protein3 interacting protein3(TNIP3)は IL-32-MΦにおいて 171.0 倍と最も発現が増加し、GM-MΦでも 46.3 倍と増加していた。IL-34-MΦでは 2.1 倍と軽度増加していた。発現の変化が上位であった遺伝子のうち、サイトカインやケモカインでは、IL-32-MΦでは IL-1 α , CCL23, CCL18 が増加し、GM-MΦでは IL-1 α , CCL23, IL-1 family member 8 (IL1F8) が増加し、IL-34-MΦでは CCL13 が増加した。また、GM-MΦでは IL-10 が減少し、IL-34-MΦでは CXCL10, IL-15 が減少した。受容体では、IL-32-MΦでは CCR7 が増加し、GM-MΦでは IL-7 receptor (IL-7R), IL3-R α が増加し、IL-34-MΦでは CCR2 が増加した。IL-32-MΦでは IL-1R2 が減少し、GM-MΦでは IL-1R1, IL-1R2 が減少した。

2-2 階層的クラスタリング解析

M-MΦと比較して 2 倍以上発現が増加した遺伝子は、IL-32-MΦで 1,764 個、GM-MΦで 776 個、IL-34-MΦで 22 個であった。M-MΦと比較して 2 倍以上発現が減少した遺伝子は、IL-32-MΦで 1,514 個、GM-MΦで 878 個、IL-34-MΦで 9 個であった。M-MΦと比較して、2 倍以上の発現の増減があった遺伝子の総数は 4,189 個であった(図 2)。この遺伝子発現データについて、GeneSpring を用いて階層的クラスタリング解析を行った(図 3)。M-MΦと IL-34-MΦでは遺伝子発現プロファイルが類似し、個人間の差異がサイトカイン間の差異を上回った。IL-32-MΦは最も独立したプロファイルを示し、GM-MΦは、M-MΦおよび IL-34-MΦと類似しつつ、独立したプロファイルを示した。

2-3 遺伝子オントロジー解析

M-MΦとの比較で 2 倍以上発現が増加した遺伝子発現データについて、GeneSpring を用いて遺伝子オントロジー(Gene Ontology:GO)解析を行った(表 3)。IL-32-MΦでは、52 の GO カテゴリーで corrected p-value 0.05 を満たした。GM-MΦでは、18 つの GO カテゴリーで corrected p-value 0.05 を満たした。一方、IL-34-MΦではいずれの GO カテゴリーも corrected p-value 0.05 を満たさなかった。GO カテゴリーのうち、immune system process と、immune responseにおいて IL-32-MΦでは 65 個の遺伝子で発現が増加し GM-MΦでは 52 個の発現が増加し、いずれの MΦにおいても corrected p-value 0.05 を満たした(表 4)。これらのカテゴリーには複数のケモカインやインターロイキンが含まれ、炎症性マクロファージモデルと抗炎症性マクロファージモデル間で、炎症に関わる遺伝子の発現の変化が有意であることを示した。

2-4 Gene Set Enrichment Analysis

Filter on expression により抽出された 19,198 個の遺伝子発現データについて、GSEA ソフトウェアを用いてパスウェイ解析を行った。

Molecular signature database (MSigDB) より、186 種類の既知のパスウェイのデータセットである、KEGG (Kyoto Encyclopedia of Genes and Genomes) gene set を選択した。

(<http://www.genome.jp/kegg/pathway.html>)。

IL-32-MΦ と M-MΦ 間では、IL-32-MΦにおいて 83 種類の gene set が enrich され、GM-MΦ と M-MΦ 間では、GM-MΦにおいて 97 種類の gene set が enrich された(表 5)。

IL-32-MΦにおいて enrich された gene set には、急性 GVHD との関連の可能性が指摘されている TLR signaling pathway および NLR signaling pathway が含まれた。

TLR は最初に発見された PRRs で、ヒトでは 10 種類同定されている。LPS や核酸、flagellin などの細菌菌体成分がリガンドとして同定されている。TLR によるリガンドの認識は、MyD88 依存性に NF-kappa-B や MAP キナーゼの活性化をもたらし、TNF α や IL-6, IL-8 などの炎症性サイトカインが産生される。TLR3 および 4 の下流には MyD88 非依存性経路も存在し、活性化により IFN が産生される(24)。代表的な NLR である NOD1, NOD2 は細胞質に存在し、リガンドとしてペプチドグリカン等が同定されている。下流では TLR signaling pathway と同じく、NF-kappa-B や MAP キナーゼを活性化し炎症性サイトカインが産生される(25)。

IL-32-MΦ で発現が増加した遺伝子は、KEGG TLR signaling pathway gene set を構成する 102 個の遺伝子のうち、発現比 1.2 倍をカットオフとすると 39 個であった(表 6-1)。KEGG NLR signaling pathway gene set を構成する 62 個の遺伝子のうち、発現比 1.2 倍をカットオフとすると 18 個であった(表 6-2)。いずれの signaling pathway においても、転写因子 NF-kappa-B、MAPK1 (ERK), MAPK11/12 (p38) キナーゼの発現が増加した。TLR signaling pathway の下流では炎症性サイトカイン IL-8, IL-6, IL-12

β , IL-1 β 等の発現が増加していた。NLR signaling pathway の下流では炎症性サイトカイン IL-8、ケモカイン CCL2 の発現が増加した(図 4A, B)。

第3節 結果 2: 造血幹細胞移植患者単球の遺伝子発現プロファイル

3-1 造血幹細胞移植患者単球の遺伝子発現変化

対象患者 9 名のうち、臨床所見や病理組織診断により、7 名が急性 GVHD と診断された。急性 GVHD の重症度は、2 名が grade III、3 名が grade II、2 名が grade I であった(表 1)。

Filter on expression により発現量 20% 以下のデータを除外した。24,000 個中 17,511 個の遺伝子発現データが抽出された。この遺伝子発現データを対象に、GeneSpring を用いて急性 GVHD の有無や grade によるクラスタリング解析を施行したが、明らかなプロファイルの傾向は見出されなかった。

3-2 Toll like receptor(TLR) signaling pathway および NOD like receptor (NLR) signaling pathway における階層的クラスタリング解析

造血幹細胞移植患者単球の遺伝子発現データに対し、KEGG TLR signaling pathway gene set あるいは KEGG NLR signaling pathway gene set に含まれる遺伝子による階層的クラスタリング解析を行った。いずれの解析においても、急性 GVHD の有無でクラスタリングされる傾向を認めた(図 5)。これらの signaling pathway に含まれる遺伝子について、急性 GVHD 発症患者単球と非発症患者単球のそれぞれ平均値をとり比較した(表 7)。急性 GVHD 発症患者単球において、TNF, IL-1 β , IL-6, IL-18 等の炎症性サイトカインの発現が増加しており、TLR signaling pathway や NLR signaling pathway を活性化する方向に遺伝子発現が変化していると考えられた。

3-3 急性 GVHD 発症患者における TAK1 遺伝子の発現増加

急性 GVHD 発症患者単球では非発症患者単球と比較して、MAP3K7 (TGF-Beta Activated Kinase 1:TAK1) の発現が 9.8 倍と著明に増加していた。TAK1 は MAPK kinase kinase family に属し、NF-kappa-B signaling pathway および MAPK signaling pathway の活性化に必須のキナーゼである。このことから、急性 GVHD 発症患者単球では、TAK1 の発現増加を介して TLR signaling pathway および NLR signaling pathway の下流の NF-kappa-B signaling pathway および MAPK signaling pathway が活性化し、炎症性サイトカインの產生亢進を通じて急性 GVHD の発症、増悪に関与している可能性を見出した。

第4節 小括

急性 GVHD の免疫病態モデル(7)より、宿主の DC やマクロファージ等の単球系細胞は、急性 GVHD の発症、維持増悪に関与していると考えられている。一方で、モデルマウスを用いた研究では、M-CSF の投与や IL-32 の抑制は急性 GVHD を軽減することが報告されている(20, 21)。これらのサイトカインはマクロファージの活性化状態に影響すると考えられていることから、マクロファージの活性化状態が急性 GVHD の発症や病態と関連する可能性が高いと考え、遺伝子発現プロファイルからの解明を試みた。

まず、健常被験者の単球をサイトカイン処理することにより、炎症性マクロファージと抗炎症性マクロファージモデルを作成し、マイクロアレイで両者の遺伝子発現プロファイルを比較した。GeneSpring を用いた階層的クラスタリング解析では、炎症性マクロファージモデル, IL-32-MΦ は、抗炎症性マクロファージモデル, M-MΦ とは非類似の遺伝子発現プロファイルを示し、他の炎症性マクロファージモデル, GM-MΦ はこれらの中間の遺伝子発現プロファイルを示した。一方、抗炎症性マ

クロファージモデル、IL-34-MΦは、M-MΦと類似の遺伝子発現プロファイルを示した。遺伝子オントロジー解析では、IL-32-MΦ、GM-MΦはともに immune system process ならびに immune response に関連する遺伝子において、M-MΦと比較して発現が増加することが示された。GSEA ソフトウェアを用いたパスウェイ解析では、IL-32-MΦでは M-MΦとの比較で、急性 GVHD との関連が指摘されている PRRs である TLR 及び NLR の signaling pathway が enrich された。これらの signaling pathway は、下流で NF-kappa-B signaling pathway や MAPK signaling pathway を活性化して 炎症性サイトカインを産生する点が共通している。実際に IL-32-MΦでは NF-kappa-B、MAPK1(ERK)、MAPK11/12(p38)の発現増加がみられ、その下流での炎症性サイトカインの発現の増加を認めた。

造血幹細胞移植患者単球の遺伝子発現プロファイルをこれらの signaling pathway に含まれる遺伝子でクラスタリングすると、急性 GVHD の発症の有無でクラスタリングされる傾向を認めた。急性 GVHD 発症患者では、TAK1 の発現が著明に増加しており、TAK1 の発現増加を通じて TLR signaling pathway や NLR signaling pathway が活性化しているものと考えられる。そして、その下流で NF-kappa-B signaling pathway や MAPK signaling pathway が活性化し、炎症性サイトカインの産生亢進を通じて 急性 GVHD の発症や増悪に関与している可能性を見出した。

第3章 単球系細胞における TAK1 の機能解析

第1節 研究材料と方法

1-1 5Z-7-Oxozeaenol

TAK1 機能解析には、5Z-7-Oxozeaenol を Sigma aldrich 社より購入して使用した。これは TAK1 kinase 阻害剤としてスクリーニングされた化合物である。MAP3K ファミリーのなかで TAK1 を選択的に阻害することが確認されている(26)。

1-2 サイトカインアレイ

健常被験者の単球からの炎症性サイトカイン産生に TAK1 阻害が与える影響をサイトカインアレイにより確認した。健常被験者から採取した末梢血から単球を分離し、 2×10^6 個/ml の濃度とし、24well プレートに 1 ml/well の細胞浮遊液とした。5Z-7-Oxozeaenol を 50nM および 100nM の濃度で添加し、37°C, 5%CO₂ 条件下で 1 時間前処理後に、*Salmonella enteritidis* 由来 LPS (Sigma) を 100ng/ml 添加し、計 16 時間培養した。5Z-7-Oxozeaenol は DMSO で溶解し、1μl/well となるよう調整した。培養後の単球から、上清を 600 μl/well 回収し、Proteome Profiler Human Cytokine Array Panel A (ARY005; R&D systems) を用いて、36 種類のサイトカインについて評価した。メンブレンからの化学発光の検出および数値化には LAS3000 イメージアナライザーおよび Multi Gause ソフトウェア(富士フィルム、東京、日本)を用いた。

1-3 リアルタイム RT-PCR

LPS 刺激下での健常被験者単球の TNFα の遺伝子発現量に TAK1 阻害が与える影響を、リアルタイム RT-PCR 法により比較した。健常被験者 3 名から採取した末梢血から単球を分離し、 2×10^6 個/ml の濃度とし、24well プレートに 1 ml/well の細胞浮遊液とした。5Z-7-Oxozeaenol を 100nM の濃度で添加し、37°C の 5%CO₂ インキュベーターで 1 時間前処理後

に LPS を 100ng/ml 添加し、計 16 時間培養した。5Z-7-Oxozeaenol は DMSO で溶解し、1μl/well となるよう調整した。培養後の単球を回収し、RNeasy ミニキットにより total RNA を抽出した。Transcriptor First Strand cDNA Synthesis Kit (Roche) および T7-oligo[dT] プライマーを用いて、55°C で 30 分間、total RNA 800ng を逆転写させることにより、一本鎖 cDNA を作成した。DNA の標識には Universal Probe Library probes (Roche) を用いた。PCR 反応には、Light Cycler 480 (Roche) を使用した。内部標準として、グルコース-6-リン酸デヒドロゲナーゼ (G6PDH) を用いた。PCR 反応は、各サンプルにつき triplicate で実施した。

1-4 同種リンパ球混合試験

同種リンパ球混合試験は、同種単核球を混合培養することによるリンパ球活性化の観察であり、移植時の免疫反応の *in vitro* モデルとして施行される。同種リンパ球混合試験における TAK1 阻害の効果を確認した。健常被験者 a(ドナー)、および b(レシピエント)から末梢血を採取し、Ficoll-Conray 比重遠心法により単核球を単離した。レシピエント単核球の一部は組織培養ディッシュに 16 時間静置し付着細胞を除いて回収することにより、レシピエント単球除去単核球とした。レシピエント単核球およびレシピエント単球除去単核球をマイトマイシン C (MitomycinC: MMC) (協和発酵工業、日本) 40 μl/ml で 37°C、40 分間処理した。ドナー単核球、MMC 処理レシピエント単核球、MMC 処理レシピエント単球除去単核球を、それぞれ 20%ヒト AB 型血清を加えた RPMI-1640 で 5×10^5 個/ml の浮遊液とした。96well プレートにドナー単核球と、MMC 処理レシピエント単核球もしくは MMC 処理レシピエント単球除去単核球を 100 μl/well の量で等量混合した。ドナー単核球を、MMC 処理自己単核球もしくは MMC 処理自己単球除去単核球と混合培養したもの陰性コントロールとし、放射線の取り込みを陰性コントロールとの比率で計算したものを

Stimulation index としてドナーリンパ球の活性化を評価した。

1-5 同種樹状細胞による T 細胞の活性化

急性 GVHD の免疫病態生理モデルでは、移植前処置により傷害された組織から放出された炎症性サイトカインや、血中に流入した LPS などの内因性、外因性刺激により活性化されたレシピエント DC は、ドナーT 細胞の活性化を通じて急性 GVHD の発症、増悪に関与するとされる。同種 DC と T 細胞の混合培養により、同種 DC による T 細胞の活性化における TAK1 阻害の効果を確認した。DC は以下の要領で単球から作成した。健常被験者 2 名から RosetteSep で単球を単離し、1%の非動化したウシ胎児血清を加えた RPMI-1640 培地で 1×10^6 個/mL の細胞浮遊液に調整した。Recombinant human GM-CSF 100ng/ml および、Recombinant Human IL-4 (R & D systems) 40ng/ml を加えて 6 日間培養し、単球由来 DC に分化させ、LPS10ng/ml を加えてさらに 2 日間培養し、成熟 DC とした(27)。培地およびサイトカインは 48 時間に一回交換した。培養には組織培養ディッシュを使用し、付着細胞のみを回収した。T 細胞は以下の要領で単離した。健常被験者 2 名の末梢血から、Lymphoprep (Axis-shield, Norway) により単核球を単離し、組織培養ディッシュに静置し付着細胞を除去した後、Nylon wool カラムを通して T 細胞に精製した(28)。異なる被験者から得られた DC 3×10^3 個/100 μ L と T 細胞 1×10^5 個/100 μ L (DC:T 細胞=1:30) を 96well プレートで混合した。5Z-7-Oxozeaenol を 100nM 加え、37°C, 5% CO₂ 条件下で 5 日間培養後に、BrdU を 100 μ M 添加し 24 時間培養した。培地および 5Z-7-Oxozeaenol は培養開始 72 時間で一度交換した。培養後細胞を固定し、ペルオキシダーゼ標識抗 BrdU 抗体と反応させた後に基質を加え、LAS3000 イメージアナライザーおよび Multi Gause ソフトウェアを用いて化学発光の検出、数値化をおこなった。DC と T 細胞の提供者を入れ替えた組み合わせでも同様の実験を行った。各培養は triplicate で実

施した。

第2節 結果

2-1 5Z-7-Oxozeaenol による TAK1 阻害が LPS 刺激下単球の炎症性サイトカインに及ぼす効果

健常被験者の単球に対して LPS 刺激を加えることにより、上清中の IL-8 は著明に増加し、IL-6, IL-1 β , IL-1 receptor antagonist (IL-1ra), MIP-1 α (CCL3), RANTES (CCL5), TNF α も増加傾向がみられた。

Macrophage Migration Inhibitory Factor (MIF), Serpin peptidase inhibitor, clade E, member 1 (Serpin E1) については LPS 刺激の有無に関わらず同程度検出された(図 6)。サイトカインアレイで評価した他のサイトカイン (C5/C5a, CD40 Ligand, G-CSF, GM-CSF, GR0 α (CXCL1), I-309 (CCL1), Intercellular Adhesion Molecule 1 (ICAM-1), IFN- γ , IL-1 α , IL-2, IL-4, IL-5, IL-10, IL-12p70, IL-13, IL-16, IL-17, IL-17E, IL-23, IL-27, IL-32 α , IP-10 (CXCL10), I-TAC (CXCL11), MCP-1 (CCL2), MIP-1 β (CCL4), SDF-1 (CXCL12), Triggering receptor expressed on monocytes 1 (TREM-1)) については、LPS 刺激の有無に関わらず検出されなかった。

次に、TAK1 阻害の有無による LPS 刺激後の炎症性サイトカイン産生の変化を観察した。5Z-7-Oxozeaenol 50nM により、IL-6 と TNF α はサイトカインアレイの検出感度下限まで低下した。その他のサイトカインも 5Z-7-Oxozeaenol の濃度に依存して低下した。

2-2 5Z-7-Oxozeaenol による TAK1 阻害が LPS 刺激下単球の TNF α の転写に及ぼす効果

5Z-7-Oxozeaenol による TAK1 阻害が LPS 刺激下の TAK1 および TNF α の転写に与える影響を、健常被験者 3 名の単球を用いてリアルタイム RT-PCR 法で確認した。5Z-7-Oxozeaenol により、健常被験者のいずれの

単球においても TNF α の発現は低下した(図 7A)。また、5Z-7-Oxozeaenol により TAK1 自体の発現も低下した(図 7B)。

2-3 5Z-7-Oxozeaenol による TAK1 阻害が同種リンパ球混合試験におけるリンパ球の活性化に及ぼす効果

同種リンパ球混合試験において、レシピエント単核球との混合培養によるドナーリンパ球の活性化は 5Z-7-Oxozeaenol により抑制された。また、レシピエント単核球から単球を除去することによりドナーリンパ球の活性化は抑制されたが、5Z-7-Oxozeaenol により抑制は軽減された(図 8)。これより、同種リンパ球混合試験におけるリンパ球活性化はレシピエント単球に依存することが示された。また、5Z-7-Oxozeaenol によるリンパ球活性化の抑制は、レシピエント単球の TAK1 の阻害による効果と推測された。

2-4 5Z-7-Oxozeaenol による TAK1 阻害が同種樹状細胞による T 細胞の活性化に及ぼす効果

同種 DC と混合培養した場合の T 細胞の活性化は、自己 DC と混合培養した場合と比較して亢進した。同種 DC と混合培養した場合の T 細胞の活性化は 5Z-7-Oxozeaenol により抑制された。自己 DC と混合培養した場合の T 細胞の活性化も 5Z-7-Oxozeaenol により抑制されたが、同種 DC と混合培養した場合と比較して抑制は軽度であった(図 9)。これより、T 細胞は同種 DC により活性化され、これは 5Z-7-Oxozeaenol により抑制されることが示された。また、5Z-7-Oxozeaenol による T 細胞活性化の抑制は、同種 DC の TAK1 の阻害による効果と推測された。

第3節 小括

TAK1 キナーゼ阻害剤 5Z-7-Oxozeaenol を用いて、単球系細胞における TAK1 の果たす機能についての解析を行った。LPS 刺激下単球の上清では、5Z-7-Oxozeaenol により IL-6, TNF α 等複数の炎症性サイトカイン濃度

が低下した。リアルタイム RT-PCR 法により、5Z-7-Oxozeaenol は LPS 刺激下単球における TNF α の発現を抑制することを確認した。また、5Z-7-Oxozeaenol により TAK1 自体の発現も抑制された。同種リンパ球混合試験では、ドナーリンパ球の活性化は 5Z-7-Oxozeaenol により抑制された。レシピエント単核球から単球を除去することによりドナーリンパ球の活性化は抑制されたが、5Z-7-Oxozeaenol により抑制は軽減された。ドナーリンパ球活性化はレシピエント単球に依存することが示された。また、レシピエント単球の TAK1 を阻害することによりドナーリンパ球の活性化は抑制されると推測された。同種 DC と T 細胞の混合培養では、T 細胞の活性化は同種 DC により亢進し、5Z-7-Oxozeaenol により抑制されることが示された。同種 DC との混合培養における、5Z-7-Oxozeaenol による T 細胞活性化の抑制は、DC の TAK1 阻害による効果と推測された。

第4章 考察

造血幹細胞移植治療後の患者単球の遺伝子発現プロファイリングの解析により、急性 GVHD を発症した患者の単球では、炎症性シグナル伝達因子 TAK1 の活性化及び、TNF α を含む炎症性サイトカインの產生亢進が確認された。組織へ移入した単球は、局所性サイトカイン等の影響を受け、炎症性マクロファージへと分化し GVHD を誘導する。サイトカイン分化誘導マクロファージの遺伝子発現プロファイル解析では、M-CSF 誘導マクロファージは、抗炎症性サイトカインである IL-10 の產生が亢進しているのに対し、IL-32 誘導マクロファージでは NF-kappa-B 及び MAPK signaling pathway の活性化を通じて、炎症性サイトカインを產生していることが明らかとなった。したがって、炎症局所でのサイトカインバランスの違いにより、単球もそれぞれ独自のシグナル伝達経路の活性化を受け、環境に応じた組織マクロファージへと分化すると考えられる。

急性 GVHD 患者単球で発現が増加していた TAK1 は、MAPK kinase kinase family に属する TLR シグナル伝達に必須のキナーゼであり、NF- κ B、p38MAPK や ERK 等、複数のシグナル伝達経路を活性化することが、強制発現系や炎症性自己免疫疾患モデルマウスでの遺伝子ノックダウン等で示されている(29–31)。このことは、急性 GVHD 患者単球では複数の炎症性経路が活性化状態にあることを示唆するものであり、TAK1 が GVHD のコントロールを目的とした分子治療標的として有用である可能性を示す。LPS-TLR4 刺激ヒト単球での TAK1 抑制試験では、複数の炎症性サイトカインの產生が抑制され、TAK1 の炎症性シグナル伝達分子としての重要性を裏付ける結果となった。

これまで自然免疫を標的とした急性 GVHD の抑制や治療法としては、抗サイトカイン療法が多く用いられ、マウスでの LPS アンタゴニストによる急性 GVHD 抑制の報告や(32)、ヒトでの急性 GVHD に対する IL-1 β アンタゴニスト(33)、抗 TNF 抗体、抗 IL-2R 抗体や抗 IL-6R 抗体等の有用性が報告さ

れてきた(34, 35)。しかしながら、その治療成績は十分ではなく、わが国では保険適応外の治療である。その他に、腸内細菌等の内因性 TLR リガンドによる腸管 APC の活性化に対して、プロバイオティクスによる GVHD 予防効果が報告されている(36)。また、分子標的療法では、MyD88 阻害剤による GVHD での炎症反応活性化の抑制等がマウスモデルで報告されているが(37)、ヒト GVHD に臨床応用されているものは現時点ではまだない。

急性GVHDの発症には、活性化組織マクロファージから産生される TNF α 等による直接的な組織障害の他、APCからの抗原提示により活性化されたCTLによる組織障害が重要である(38)。このCTLの活性化を担うAPCは主としてDCによるものと考えられている。DCは、移植前処置によって発生する生体の炎症環境によってその抗原提示能を亢進させ、所属リンパ節のT細胞を活性化することにより間接的にGVHDを増悪させる(39)。本研究で確認された TAK1が活性化した単球由来のDCが、GVHDにどのような影響を与えるのか、また、TAK1の抑制によってCTL誘導やGVHDを抑制することが可能であるのか、今後、さらなる臨床的検証が必要である。

GVHD 発症例で白血病の再発率が低下することが報告されて以来、臨床的に Graft-versus-leukemia (GVL) 効果は GVHD の発症と密接に関係することが明らかとなった。モデルマウスを用いた研究によって、GVL も GVHD と同様に、アロ抗原 (HLAs、mHAs) を発現した宿主由来の APC によって誘導されることが示され、白血病細胞のみではドナーCTL が十分に活性化されないことがわかっている(40)。一方、MHC 適合骨髄移植マウスに対して、宿主白血病細胞の移植と donor lymphocyte infusions を行った GVL 効果の検証では、TLR リガンドによる APC の活性化が、GVL の增强に重要であるとされた(41)。したがって、TLR シグナルの過剰な抑制は GVL 効果の減弱をもたらす可能性もあり、臨床の現場においては、GVHD 予防効果とのバランスが重要と考えられる。

現在、急性 GVHD の予防は、カルシニューリン阻害剤による T 細胞の抑制が標準予防法として確立されており、発症時の標準的初期治療薬は副腎皮質ステロイドである。ステロイド抵抗性の場合は、抗ヒト T 細胞グロブリンやミコフェノール酸モフェチルによる免疫抑制の強化や、抗サイトカイン療法等、さまざまな二次療法が報告されている。しかしながら、比較試験によってその有用性が示されているものではなく、標準治療がないのが現状である。LPS 刺激によって TLR4 シグナルが活性化した炎症性マクロファージでは、TAK1 の活性はデキサメタゾン投与によっても抑制されず、ステロイド耐性であることが報告されている(42)。また、ステロイド抵抗性の皮膚や腸管 GVHDにおいて、マクロファージの組織浸潤が多く認められ、皮膚 GVHDにおいては、マクロファージの浸潤の程度が予後に相関することが示されている(43)。これらのことから、ステロイド抵抗性 GVHDにおいては、活性化マクロファージに対する TAK1 の抑制が治療に効果的である可能性がある。また、TAK1 は、GVHD のエフェクター細胞である T 細胞の機能獲得にも重要な因子である。T 細胞の活性化と増殖には TAK1 による MAPK シグナルの活性化が必須であり、TAK1-JNK 経路を抑制すると活性化 T 細胞がアポトーシスを起こし排除されることが報告されている(44)。実際の移植における GVHD の発症の機序および病態には、APC による自然免疫の活性化と T 細胞を中心とした獲得免疫が複雑に関連していると考えられる。TAK1 は自然免疫と獲得免疫の双方に関連しており、急性 GVHD の制御の標的分子として有用である可能性がある。

第5章 総括および結論

炎症性マクロファージモデル IL-32-MΦ では TLR signaling pathway および NLR signaling pathway に共通する NF-kappa-B、MAPK1 (ERK)、MAPK11/12 (p38) の発現が増加し、その下流での炎症性サイトカインの発現が増加した。

造血幹細胞移植患者単球の遺伝子発現は、TLR signaling pathway および NLR signaling pathway に含まれる遺伝子によって急性 GVHD の有無によりクラスタリングされた。急性 GVHD を発症した患者単球では TAK1 および TNF, IL-1 β , IL-6, IL-18 等の炎症性サイトカインの発現が増加した。TAK1 の発現増加は、TLR signaling pathway や NLR signaling pathway に共通する NF-kappa-B signaling pathway や MAPK signaling pathway を活性化し、炎症性サイトカインの產生亢進を通じて急性 GVHD の発症や増悪に関与している可能性を見出した。

健常人単球系細胞における TAK1 の機能解析では、LPS 刺激下単球の上清中の炎症性サイトカインの濃度は 5Z-7-Oxozeaenol により低下した。リアルタイム RT-PCR 法による発現解析では、5Z-7-Oxozeaenol は LPS 刺激下単球における TNF α の発現を抑制した。また TAK1 自体の発現も抑制した。

同種リンパ球混合試験におけるドナーリンパ球の活性化は 5Z-7-Oxozeaenol により抑制された。ドナーリンパ球の活性化はレシピエントの単球に依存することが示され、ドナーリンパ球の活性化は、レシピエント単球の TAK1 阻害により抑制されることが推測された。

同種 DC と T 細胞の混合培養により、T 細胞の活性化は同種 DC により亢進し、5Z-7-Oxozeaenol により抑制された。T 細胞の活性化は、同種 DC の TAK1 阻害により抑制されることが推測された。

TAK1 は急性 GVHD の制御の標的分子となりうる可能性を見出した。

謝辞

本論文を作成するにあたり、御指導、御高闘を賜りました、防衛医科大学校内科学講

座教授 木村文彦先生に心より感謝申し上げます。

本研究の実施にあたり御指導頂きました防衛医科大学校内科学講座講師 佐藤謙

先生、同助教 小林真一先生、同 大澤有紀子先生に深謝申し上げます。

本研究に際し、貴重な御助言、御協力を賜りました諸先生はじめ、すべての方々に

深く御礼申し上げます。

最後に、ここまで支えてくれた夫 真一、娘 杏美、双方の両親に心から感謝します。

引用文献

1. Filipovich AH, Weisdorf D, Pavletic S, Socie G, Wingard JR, Lee SJ, et al. National Institutes of Health consensus development project on criteria for clinical trials in chronic graft-versus-host disease: I. Diagnosis and staging working group report. *Biol Blood Marrow Transplant.* 2005 Dec;11(12):945-56.
2. Loiseau P, Busson M, Balere ML, Dormoy A, Bignon JD, Gagne K, et al. HLA Association with hematopoietic stem cell transplantation outcome: the number of mismatches at HLA-A, -B, -C, -DRB1, or -DQB1 is strongly associated with overall survival. *Biol Blood Marrow Transplant.* 2007 Aug;13(8):965-74.
3. Jagasia M, Arora M, Flowers ME, Chao NJ, McCarthy PL, Cutler CS, et al. Risk factors for acute GVHD and survival after hematopoietic cell transplantation. *Blood.* 2012 Jan 5;119(1):296-307.
4. Flowers ME, Inamoto Y, Carpenter PA, Lee SJ, Kiem HP, Petersdorf EW, et al. Comparative analysis of risk factors for acute graft-versus-host disease and for chronic graft-versus-host disease according to National Institutes of Health consensus criteria. *Blood.* 2011 Mar 17;117(11):3214-9.
5. Ludajic K, Balavarca Y, Bickeboller H, Rosenmayr A, Fischer GF, Fae I, et al. Minor ABO-mismatches are risk factors for acute graft-versus-host disease in hematopoietic stem cell transplant patients. *Biol Blood Marrow Transplant.* 2009 Nov;15(11):1400-6.
6. Brunstein CG, Miller JS, Cao Q, McKenna DH, Hippen KL, Curtsinger J, et al. Infusion of ex vivo expanded T regulatory cells in adults transplanted with umbilical cord blood: safety profile and detection kinetics. *Blood.* 2011 Jan 20;117(3):1061-70.
7. Ferrara JL, Levine JE, Reddy P, Holler E. Graft-versus-host disease.

Lancet. 2009 May 2;373(9674):1550-61.

8. Kumar H, Kawai T, Akira S. Pathogen recognition by the innate immune system. *Int Rev Immunol*. 2011 Feb;30(1):16-34.
9. Lorenz E, Schwartz DA, Martin PJ, Gooley T, Lin MT, Chien JW, et al. Association of TLR4 mutations and the risk for acute GVHD after HLA-matched-sibling hematopoietic stem cell transplantation. *Biol Blood Marrow Transplant*. 2001;7(7):384-7.
10. Elmaagacli AH, Koldehoff M, Hindahl H, Steckel NK, Trenschel R, Peceny R, et al. Mutations in innate immune system NOD2/CARD 15 and TLR-4 (Thr399Ile) genes influence the risk for severe acute graft-versus-host disease in patients who underwent an allogeneic transplantation. *Transplantation*. 2006 Jan 27;81(2):247-54.
11. Elmaagacli AH, Steckel N, Ditschkowski M, Hegerfeldt Y, Ottinger H, Trenschel R, et al. Toll-like receptor 9, NOD2 and IL23R gene polymorphisms influenced outcome in AML patients transplanted from HLA-identical sibling donors. *Bone Marrow Transplant*. 2011 May;46(5):702-8.
12. Heimesaat MM, Nogai A, Bereswill S, Plickert R, Fischer A, Loddenkemper C, et al. MyD88/TLR9 mediated immunopathology and gut microbiota dynamics in a novel murine model of intestinal graft-versus-host disease. *Gut*. 2010 Aug;59(8):1079-87.
13. Hossain MS, Jaye DL, Pollack BP, Farris AB, Tselanyane ML, David E, et al. Flagellin, a TLR5 agonist, reduces graft-versus-host disease in allogeneic hematopoietic stem cell transplantation recipients while enhancing antiviral immunity. *J Immunol*. 2011 Nov 15;187(10):5130-40.
14. Verreck FA, de Boer T, Langenberg DM, van der Zanden L, Ottenhoff TH. Phenotypic and functional profiling of human proinflammatory type-1 and

anti-inflammatory type-2 macrophages in response to microbial antigens and IFN-gamma- and CD40L-mediated costimulation. *J Leukoc Biol.* 2006 Feb;79(2):285-93.

15. Verreck FA, de Boer T, Langenberg DM, Hoeve MA, Kramer M, Vaisberg E, et al. Human IL-23-producing type 1 macrophages promote but IL-10-producing type 2 macrophages subvert immunity to (myco)bacteria. *Proc Natl Acad Sci U S A.* 2004 Mar 30;101(13):4560-5.
16. Netea MG, Lewis EC, Azam T, Joosten LA, Jaekal J, Bae SY, et al. Interleukin-32 induces the differentiation of monocytes into macrophage-like cells. *Proc Natl Acad Sci U S A.* 2008 Mar 4;105(9):3515-20.
17. Foucher ED, Blanchard S, Preisser L, Garo E, Ifrah N, Guardiola P, et al. IL-34 induces the differentiation of human monocytes into immunosuppressive macrophages. antagonistic effects of GM-CSF and IFNgamma. *PLoS One.* 2013;8(2):e56045.
18. Martinez FO, Gordon S, Locati M, Mantovani A. Transcriptional profiling of the human monocyte-to-macrophage differentiation and polarization: new molecules and patterns of gene expression. *J Immunol.* 2006 Nov 15;177(10):7303-11.
19. Zhou LJ, Tedder TF. CD14+ blood monocytes can differentiate into functionally mature CD83+ dendritic cells. *Proc Natl Acad Sci U S A.* 1996 Mar 19;93(6):2588-92.
20. Hashimoto D, Chow A, Greter M, Saenger Y, Kwan WH, Leboeuf M, et al. Pretransplant CSF-1 therapy expands recipient macrophages and ameliorates GVHD after allogeneic hematopoietic cell transplantation. *J Exp Med.* 2011 May 9;208(5):1069-82.
21. Marcondes AM, Li X, Tabellini L, Bartenstein M, Kabacka J, Sale GE, et

- al. Inhibition of IL-32 activation by alpha-1 antitrypsin suppresses alloreactivity and increases survival in an allogeneic murine marrow transplantation model. *Blood*. 2011 Nov 3;118(18):5031-9.
22. Glucksberg H, Storb R, Fefer A, Buckner CD, Neiman PE, Clift RA, et al. Clinical manifestations of graft-versus-host disease in human recipients of marrow from HL-A-matched sibling donors. *Transplantation*. 1974 Oct;18(4):295-304.
23. Chihara T, Suzu S, Hassan R, Chutiwittonchai N, Hiyoshi M, Motoyoshi K, et al. IL-34 and M-CSF share the receptor Fms but are not identical in biological activity and signal activation. *Cell Death Differ*. 2010 Dec;17(12):1917-27.
24. Blasius AL, Beutler B. Intracellular toll-like receptors. *Immunity*. 2010 Mar 26;32(3):305-15.
25. Kanneganti TD, Lamkanfi M, Nunez G. Intracellular NOD-like receptors in host defense and disease. *Immunity*. 2007 Oct;27(4):549-59.
26. Ninomiya-Tsuji J, Kajino T, Ono K, Ohtomo T, Matsumoto M, Shiina M, et al. A resorcylic acid lactone, 5Z-7-oxozeaenol, prevents inflammation by inhibiting the catalytic activity of TAK1 MAPK kinase kinase. *J Biol Chem*. 2003 May 16;278(20):18485-90.
27. Betts BC, St Angelo ET, Kennedy M, Young JW. Anti-IL6-receptor-alpha (tocilizumab) does not inhibit human monocyte-derived dendritic cell maturation or alloreactive T-cell responses. *Blood*. 2011 Nov 10;118(19):5340-3.
28. Ratzinger G, Reagan JL, Heller G, Busam KJ, Young JW. Differential CD52 expression by distinct myeloid dendritic cell subsets: implications for alemtuzumab activity at the level of antigen presentation in allogeneic graft-host interactions in transplantation. *Blood*. 2003 Feb 15;101(4):1422-9.

29. Ninomiya-Tsuji J, Kajino T, Ono K, Ohtomo T, Matsumoto M, Shiina M, et al. A resorcylic acid lactone, 5Z-7-oxozeaenol, prevents inflammation by inhibiting the catalytic activity of TAK1 MAPK kinase kinase. *The Journal of biological chemistry.* [Research Support, Non-U.S. Gov't]. 2003 May 16;278(20):18485-90.
30. Holtmann H, Enninga J, Kalble S, Thiebes A, Dorrie A, Broemer M, et al. The MAPK kinase kinase TAK1 plays a central role in coupling the interleukin-1 receptor to both transcriptional and RNA-targeted mechanisms of gene regulation. *J Biol Chem.* 2001 Feb 2;276(5):3508-16.
31. Courties G, Seiffert V, Presumey J, Escriou V, Scherman D, Zwerina J, et al. In vivo RNAi-mediated silencing of TAK1 decreases inflammatory Th1 and Th17 cells through targeting of myeloid cells. *Blood.* 2010 Nov 4;116(18):3505-16.
32. Cooke KR, Gerbitz A, Crawford JM, Teshima T, Hill GR, Tesolin A, et al. LPS antagonism reduces graft-versus-host disease and preserves graft-versus-leukemia activity after experimental bone marrow transplantation. *J Clin Invest.* 2001 Jun;107(12):1581-9.
33. Antin JH, Weisdorf D, Neuberg D, Nicklow R, Clouthier S, Lee SJ, et al. Interleukin-1 blockade does not prevent acute graft-versus-host disease: results of a randomized, double-blind, placebo-controlled trial of interleukin-1 receptor antagonist in allogeneic bone marrow transplantation. *Blood.* 2002 Nov 15;100(10):3479-82.
34. Tsimberidou AM, Thomas D, O'Brien S, Andreeff M, Kurzrock R, Keating M, et al. Recombinant human soluble tumor necrosis factor (TNF) receptor (p75) fusion protein Enbrel in patients with refractory hematologic malignancies. *Cancer Chemother Pharmacol.* 2002 Sep;50(3):237-42.
35. Drobyski WR, Pasquini M, Kovatovic K, Palmer J, Douglas Rizzo J, Saad

- A, et al. Tocilizumab for the treatment of steroid refractory graft-versus-host disease. *Biol Blood Marrow Transplant.* 2011 Dec;17(12):1862-8.
36. Gerbitz A, Schultz M, Wilke A, Linde HJ, Scholmerich J, Andreesen R, et al. Probiotic effects on experimental graft-versus-host disease: let them eat yogurt. *Blood.* 2004 Jun 1;103(11):4365-7.
37. Loiarro M, Capolunghi F, Fanto N, Gallo G, Campo S, Arseni B, et al. Pivotal Advance: Inhibition of MyD88 dimerization and recruitment of IRAK1 and IRAK4 by a novel peptidomimetic compound. *J Leukoc Biol.* 2007 Oct;82(4):801-10.
38. Blazar BR, Murphy WJ, Abedi M. Advances in graft-versus-host disease biology and therapy. *Nat Rev Immunol.* 2012 Jun;12(6):443-58.
39. Koyama M, Hashimoto D, Aoyama K, Matsuoka K, Karube K, Niiro H, et al. Plasmacytoid dendritic cells prime alloreactive T cells to mediate graft-versus-host disease as antigen-presenting cells. *Blood.* 2009 Feb 26;113(9):2088-95.
40. Reddy P, Maeda Y, Liu C, Krijanovski OI, Korngold R, Ferrara JL. A crucial role for antigen-presenting cells and alloantigen expression in graft-versus-leukemia responses. *Nat Med.* 2005 Nov;11(11):1244-9.
41. Durakovic N, Radojcic V, Skarica M, Bezak KB, Powell JD, Fuchs EJ, et al. Factors governing the activation of adoptively transferred donor T cells infused after allogeneic bone marrow transplantation in the mouse. *Blood.* 2007 May 15;109(10):4564-74.
42. Bhattacharyya S, Ratajczak CK, Vogt SK, Kelley C, Colonna M, Schreiber RD, et al. TAK1 targeting by glucocorticoids determines JNK and IkappaB regulation in Toll-like receptor-stimulated macrophages. *Blood.* 2010 Mar 11;115(10):1921-31.

43. Nishiwaki S, Terakura S, Ito M, Goto T, Seto A, Watanabe K, et al. Impact of macrophage infiltration of skin lesions on survival after allogeneic stem cell transplantation: a clue to refractory graft-versus-host disease. *Blood*. 2009 Oct 1;114(14):3113-6.
44. Hirata Y, Sugie A, Matsuda A, Matsuda S, Koyasu S. TAK1-JNK Axis Mediates Survival Signal through Mcl1 Stabilization in Activated T Cells. *J Immunol*. 2013 May 1;190(9):4621-6.

図表

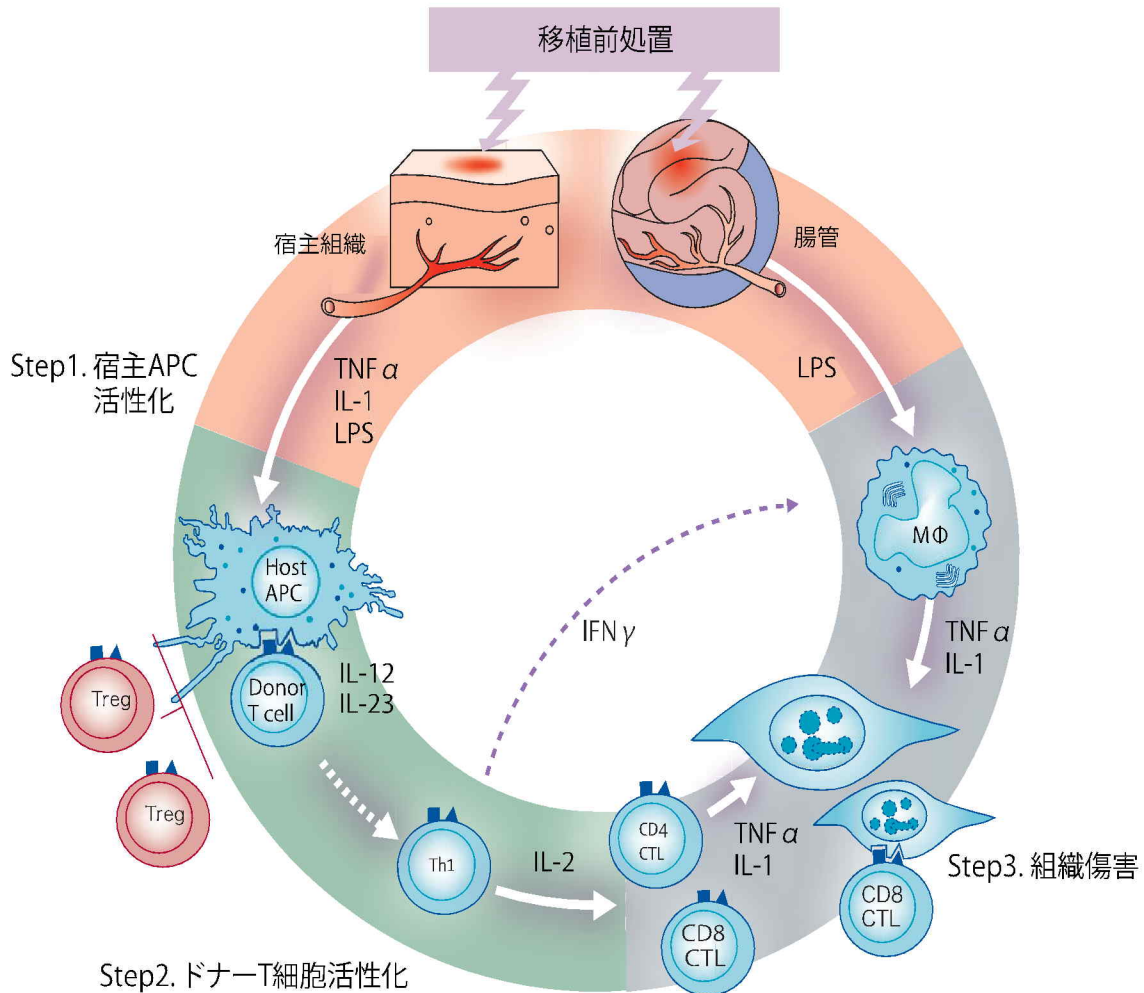


図1. 急性GVHDの免疫病態生理

放射線や抗がん剤等の移植前処置等によって傷害された宿主の組織から、TNF α やIL-1等の炎症性サイトカインが放出される。また、傷害された組織からLPS等の微生物由来物質の血中への流入がおこる。これらの内因性、外因性刺激により、宿主の抗原提示細胞(antigen-presenting cells: APC)が活性化される(Step1)。活性化された宿主APCはIL-12やIL-23を産生し、ドナーT細胞を活性化し、Th1細胞の産生を促進する(Step2)。

ドナーTh1細胞はIL-2を産生し、細胞傷害性T細胞(Cytotoxic T lymphocyte: CTL)を誘導し、CTLやサイトカインによる組織傷害が発生し、GVHDと診断される(Step3)。ドナーTh1から産生されたIFN- γ や、腸管から流入したLPS等によりマクロファージが活性化され、炎症性サイトカイン産生がおこり、GVHDはさらに増幅される。

(文献7より改変)

表1. 患者背景

| 症例 | 性別 | 年齢 | 疾患 | 幹細胞ソース | HLA適合度 | 前処置 | GVHD予防 | aGVHD | | | | | |
|----|----|----|-----------|--------|--------|------------|----------------------|-------------|----|----|-------|------|----|
| | | | | | | | | stage 皮膚 | 肝臓 | 腸管 | grade | 治療 | 転帰 |
| 1 | F | 65 | 急性骨髓性白血病 | 非血縁骨髓 | 1抗原不一致 | Flu/L-PAM | FK506+short term MTX | 2 | 3 | 1 | III | mPSL | 軽快 |
| 2 | F | 39 | 急性リンパ性白血病 | 非血縁骨髓 | 2抗原不一致 | TBI12Gy/CY | FK506+short term MTX | 2 | 1 | 2 | III | mPSL | 軽快 |
| 3 | M | 41 | 急性骨髓性白血病 | 血縁骨髓 | 3抗原不一致 | TBI12Gy/CY | CyA+short term MTX | 3 | 0 | 1 | II | mPSL | 軽快 |
| 4 | M | 45 | 原発性骨髓線維症 | 非血縁骨髓 | 一致 | Bu/CY | FK506+short term MTX | 3 | 0 | 0 | II | なし | 軽快 |
| 5 | M | 49 | 骨髓異形成症候群 | 血縁骨髓 | 一致 | TBI12Gy/CY | CyA+short term MTX | 2 | 0 | 1 | II | なし | 軽快 |
| 6 | M | 40 | 急性骨髓性白血病 | 臍帯血 | 3抗原不一致 | Bu/CY | FK506+short term MTX | 2 | 0 | 0 | I | なし | 軽快 |
| 7 | F | 53 | 急性骨髓性白血病 | 非血縁骨髓 | 一致 | TBI12Gy/CY | FK506+short term MTX | 1 | 0 | 0 | I | なし | 軽快 |
| 8 | F | 42 | 急性骨髓性白血病 | 非血縁骨髓 | 一致 | TBI12Gy/CY | FK506+short term MTX | 0 | 0 | 0 | 0 | なし | - |
| 9 | F | 59 | 急性骨髓性白血病 | 臍帯血 | 一致 | Flu/L-PAM | FK506 | 0 | 0 | 0 | 0 | なし | - |

表2-1A. IL-32-M中で発現が増加した遺伝子(上位50)

| Gene Name | Gene Symbol | Fold change (IL-32:M) |
|---|-------------|--------------------------|
| TNFAIP3 interacting protein 3 | TNIP3 | 171.0 |
| prostaglandin E synthase | PTGES | 69.2 |
| mast cell-expressed membrane protein 1 | MCEMP1 | 56.2 |
| complement component 1, s subcomponent | C1S | 53.7 |
| indoleamine-pyrrole 2,3 dioxygenase | INDO | 41.7 |
| lysosomal-associated membrane protein 3 | LAMP3 | 36.9 |
| carboxylesterase 1 (monocyte/macrophage serine esterase 1) | CES1 | 29.3 |
| solute carrier family 24 (sodium/potassium/calcium exchanger), member 3 | SLC24A3 | 26.8 |
| carboxylesterase 1 (monocyte/macrophage serine esterase 1) | CES1 | 26.6 |
| met proto-oncogene (hepatocyte growth factor receptor) | MET | 25.5 |
| chemokine (C-C motif) receptor 7 | CCR7 | 20.4 |
| natural killer cell group 7 sequence | NKG7 | 19.0 |
| integrin, beta 8 | ITGB8 | 17.5 |
| complement component 1, r subcomponent-like | C1RL | 17.3 |
| sialic acid binding Ig-like lectin 10 | SIGLEC10 | 15.6 |
| galactose-3-O-sulfotransferase 4 | GAL3ST4 | 13.6 |
| interleukin 1, alpha | IL1A | 12.9 |
| chemokine (C-C motif) ligand 23 | CCL23 | 12.8 |
| similar to Ig kappa chain V-II region RPMI 6410 precursor | LOC651928 | 12.6 |
| T-box 3 (ulnar mammary syndrome) | TBX3 | 12.6 |
| transmembrane protease, serine 11E | TMPRSS11E | 12.1 |
| olfactory receptor, family 10, subfamily K, member 1 | OR10K1 | 11.1 |
| protein C receptor, endothelial (EPCR) | PROCR | 10.9 |
| complement component 3 | C3 | 10.9 |
| glutamate receptor, metabotropic 3 | GRM3 | 10.8 |
| gap junction protein, beta 2, 26kDa (connexin 26) | GJB2 | 10.0 |
| hypothetical gene supported by AK126863 | LOC441426 | 9.8 |
| similar to anaphase promoting complex subunit 1 | LOC653532 | 9.5 |
| FKSG73 protein | LOC440888 | 9.4 |
| chemokine (C-C motif) ligand 18 (pulmonary and activation-regulated) | CCL18 | 9.4 |
| Meis1, myeloid ecotropic viral integration site 1 homolog 2 (mouse) | MEIS2 | 9.1 |
| fibroblast growth factor 12 | FGF12 | 9.0 |
| carbonic anhydrase XII | CA12 | 8.9 |
| hypothetical gene supported by AK127888 | FLJ45994 | 8.9 |
| Meis1, myeloid ecotropic viral integration site 1 homolog 2 (mouse) | MEIS2 | 8.9 |
| hypothetical LOC255411 | LOC255411 | 8.7 |
| BTB (POZ) domain containing 11 | BTBD11 | 8.7 |
| neuregulin 1 | NRG1 | 8.6 |
| ATP-binding cassette, sub-family C (CFTR/MRP), member 13 | ABCC13 | 8.6 |
| chemokine (C-C motif) ligand 23 | CCL23 | 8.6 |
| mucolipin 2 | MCOLN2 | 8.5 |
| PTPRF interacting protein, binding protein 1 (liprin beta 1) | PPFIBP1 | 8.5 |
| fms-related tyrosine kinase 3 | FLT3 | 8.5 |
| hypothetical LOC400968 | LOC400968 | 8.5 |
| similar to F-box only protein 2 | LOC342897 | 8.4 |
| hypothetical LOC375010 | LOC375010 | 8.3 |
| olfactory receptor, family 2, subfamily J, member 3 | OR2J3 | 8.3 |
| olfactory receptor, family 4, subfamily Q, member 3 | OR4Q3 | 8.3 |
| olfactory receptor, family 2, subfamily J, member 2 | OR2J2 | 8.3 |
| purine-rich element binding protein G | PURG | 8.3 |

表2-1B. IL-32-M中で発現が減少した遺伝子(上位50)

| Gene Name | Gene Symbol | Fold change (IL-32:M) |
|--|---------------|--------------------------|
| coagulation factor XIII, A1 polypeptide | F13A1 | -169.8 |
| KIAA0101 | KIAA0101 | -83.8 |
| hypothetical protein FLJ36748 | FLJ36748 | -81.9 |
| galanin | GAL | -77.5 |
| chitinase 1 (chitotriosidase) | CHIT1 | -76.2 |
| topoisomerase (DNA) II alpha 170kDa | TOP2A | -61.3 |
| lipoprotein lipase | LPL | -59.2 |
| kinesin family member 20A | KIF20A | -56.3 |
| KIAA0101 | KIAA0101 | -56.1 |
| fibronectin 1 | FN1 | -55.7 |
| folate receptor 2 (fetal) | FOLR2 | -54.6 |
| cellular retinoic acid binding protein 2 | CRABP2 | -45.9 |
| selenoprotein P, plasma, 1 | SEPP1 | -41.2 |
| ubiquitin-conjugating enzyme E2C | UBE2C | -38.0 |
| v-myb myeloblastosis viral oncogene homolog (avian)-like 2 | MYBL2 | -35.1 |
| leucine-rich repeat LGI family, member 2 | LGI2 | -34.7 |
| ubiquitin-conjugating enzyme E2C | UBE2C | -32.5 |
| solute carrier family 28 (sodium-coupled nucleoside transporter), member 3 | SLC28A3 | -31.4 |
| hypothetical protein DKFZp762E1312 | DKFZp762E1312 | -31.4 |
| glycan 4 | GPC4 | -31.1 |
| TPX2, microtubule-associated, homolog (Xenopus laevis) | TPX2 | -30.9 |
| discs, large homolog 7 (Drosophila) | DLG7 | -30.8 |
| similar to Antigen Ki-67 | LOC442448 | -30.4 |
| interleukin 1 receptor, type II | IL1R2 | -30.4 |
| cyclin B2 | CCNB2 | -27.8 |
| interferon-induced protein 44-like | IFI44L | -27.3 |
| hypothetical LOC441107 | LOC441107 | -26.9 |
| bactericidal/permeability-increasing protein | BPI | -25.7 |
| gremlin 1, cysteine knot superfamily, homolog (Xenopus laevis) | GREM1 | -25.1 |
| antigen identified by monoclonal antibody Ki-67 | MKI67 | -24.4 |
| collectin sub-family member 12 | COLEC12 | -23.8 |
| sialic acid binding Ig-like lectin 1, sialoadhesin | SIGLEC1 | -22.7 |
| hyaluronan-mediated motility receptor (RHAMM) | HMMR | -21.8 |
| deoxyribonuclease II beta | DNASE2B | -21.8 |
| insulin-like growth factor 1 (somatomedin C) | IGF1 | -21.6 |
| PDZ binding kinase | PBK | -21.1 |
| maternal embryonic leucine zipper kinase | MELK | -21.0 |
| apolipoprotein B mRNA editing enzyme, catalytic polypeptide-like 3B | APOBEC3B | -20.5 |
| ubiquitin specific peptidase 2 | USP2 | -20.5 |
| cyclin A2 | CCNA2 | -20.2 |
| SHC SH2-domain binding protein 1 | SHCBP1 | -19.7 |
| cyclin D1 | CCND1 | -19.4 |
| interferon-induced protein with tetratricopeptide repeats 1 | IFIT1 | -19.3 |
| establishment of cohesion 1 homolog 2 (<i>S. cerevisiae</i>) | ESCO2 | -19.2 |
| chromosome 18 open reading frame 24 | C18orf24 | -18.7 |
| aurora kinase B | AURKB | -18.7 |
| ubiquitin specific peptidase 2 | USP2 | -18.6 |
| histone 1, H3c | HIST1H3C | -18.6 |
| kalirin, RhoGEF kinase | KALRN | -18.6 |
| cell division cycle associated 1 | CDCA1 | -18.4 |

表2-2A. GM-MΦで発現が増加した遺伝子(上位50)

| Gene Name | Gene Symbol | Fold change (GM:M) |
|--|---------------|-----------------------|
| SH3 and cysteine rich domain | STAC | 463.7 |
| mast cell-expressed membrane protein 1 | MCEMP1 | 124.5 |
| aquaporin 3 (Gill blood group) | AQP3 | 111.7 |
| chemokine (C-C motif) ligand 23 | CCL23 | 106.1 |
| inhibin, beta A (activin A, activin AB alpha polypeptide) | INHBA | 104.9 |
| chemokine (C-C motif) ligand 24 | CCL24 | 56.6 |
| chemokine (C-C motif) ligand 23 | CCL23 | 53.0 |
| zinc finger protein 365 | ZNF365 | 46.3 |
| TNFAIP3 interacting protein 3 | TNIP3 | 46.3 |
| matrix metallopeptidase 10 (stromelysin 2) | MMP10 | 43.2 |
| aldehyde dehydrogenase 1 family, member A2 | ALDH1A2 | 42.8 |
| S100 calcium binding protein P | S100P | 41.6 |
| amine oxidase, copper containing 3 (vascular adhesion protein 1) | AOC3 | 41.1 |
| cadherin 17, LI cadherin (liver-intestine) | CDH17 | 37.9 |
| interleukin 1, alpha | IL1A | 36.7 |
| suppressor of cytokine signaling 2 | SOCS2 | 34.7 |
| hypothetical protein FLJ10159 | FLJ10159 | 34.6 |
| haptoglobin | HP | 33.6 |
| hydroxysteroid (11-beta) dehydrogenase 1 | HSD11B1 | 32.3 |
| cadherin 1, type 1, E-cadherin (epithelial) | CDH1 | 31.2 |
| carboxylesterase 1 (monocyte/macrophage serine esterase 1) | CES1 | 29.5 |
| hydroxysteroid (11-beta) dehydrogenase 1 | HSD11B1 | 29.3 |
| haptoglobin-related protein | HPR | 28.9 |
| interleukin 1 family, member 8 (eta) | IL1F8 | 28.5 |
| macrophage receptor with collagenous structure | MARCO | 27.7 |
| carboxylesterase 1 (monocyte/macrophage serine esterase 1) | CES1 | 26.9 |
| retinol binding protein 4, plasma | RBP4 | 24.6 |
| Norrie disease (pseudoglioma) | NDP | 23.2 |
| interleukin 7 receptor | IL7R | 23.0 |
| fms-related tyrosine kinase 1 (vascular endothelial growth factor/vascular permeability factor receptor) | FLT1 | 22.6 |
| small breast epithelial mucin | SBEM | 22.4 |
| TCR gamma alternate reading frame protein | TARP | 21.9 |
| agouti related protein homolog (mouse) | AGRP | 20.8 |
| similar to similar to protein of unknown function | LOC653567 | 18.8 |
| olfactory receptor, family 8, subfamily G, member 5 | OR8G5 | 18.4 |
| A kinase (PRKA) anchor protein 5 | AKAP5 | 18.4 |
| hemoglobin, gamma G | HBG2 | 17.8 |
| similar to protein of unknown function | RP11-162I21.1 | 16.9 |
| inducible T-cell co-stimulator | ICOS | 16.6 |
| resistin | RETN | 16.5 |
| interleukin 3 receptor, alpha (low affinity) | IL3RA | 15.8 |
| pro-platelet basic protein (chemokine (C-X-C motif) ligand 7) | PPBP | 15.5 |
| nuclear factor (erythroid-derived 2), 45kDa | NFE2 | 14.8 |
| solute carrier organic anion transporter family, member 4C1 | SLCO4C1 | 14.4 |
| insulin-like growth factor binding protein 2, 36kDa | IGFBP2 | 14.2 |
| protein kinase (cAMP-dependent, catalytic) inhibitor alpha | PKIA | 14.1 |
| cholesterol 25-hydroxylase | CH25H | 14.1 |
| C-type lectin domain family 6, member A | CLEC6A | 14.1 |
| lysosomal-associated membrane protein 3 | LAMP3 | 13.6 |
| carbonic anhydrase XII | CA12 | 13.5 |

表2-2B. GM-M中で発現が減少した遺伝子(上位50)

| Gene Name | Gene Symbol | Fold change (GM:M) |
|---|-------------|-----------------------|
| coagulation factor XIII, A1 polypeptide | F13A1 | -92.7 |
| stabilin 1 | STAB1 | -85.2 |
| selenoprotein P, plasma, 1 | SEPP1 | -74.2 |
| interleukin 1 receptor, type II | IL1R2 | -62.3 |
| leucine-rich repeat LGI family, member 2 | LGI2 | -47.9 |
| calcium channel, voltage-dependent, alpha 2/delta 3 subunit | CACNA2D3 | -39.7 |
| HtrA serine peptidase 1 | HTRA1 | -36.9 |
| interleukin 1 receptor, type II | IL1R2 | -34.1 |
| collagen, type XXIII, alpha 1 | COL23A1 | -29.2 |
| serine dehydratase | SDS | -26.6 |
| interleukin 10 | IL10 | -25.7 |
| CD163 molecule-like 1 | CD163L1 | -25.5 |
| insulin-like growth factor 1 (somatomedin C) | IGF1 | -22.8 |
| solute carrier family 9 (sodium/hydrogen exchanger), member 9 | SLC9A9 | -21.0 |
| taxilin beta | TXLNB | -16.3 |
| c-mer proto-oncogene tyrosine kinase | MERTK | -16.1 |
| tumor necrosis factor receptor superfamily, member 9 | TNFRSF9 | -16.0 |
| folate receptor 2 (fetal) | FOLR2 | -15.4 |
| potassium large conductance calcium-activated channel, subfamily M, beta member 4 | KCNMB4 | -15.2 |
| interleukin 1 receptor, type I | IL1R1 | -15.2 |
| Spi-C transcription factor (Spi-1/PU.1 related) | SPIC | -14.4 |
| 5-hydroxytryptamine (serotonin) receptor 2B | HTR2B | -14.4 |
| adenosine A3 receptor | ADORA3 | -14.1 |
| ADP-ribosylation factor-like 4C | ARL4C | -13.9 |
| prolactin-induced protein | PIP | -13.6 |
| adenosine A3 receptor | ADORA3 | -13.6 |
| lymphocyte antigen 9 | LY9 | -12.9 |
| insulin-like growth factor binding protein 4 | IGFBP4 | -12.4 |
| dipeptidyl-peptidase 4 (CD26, adenosine deaminase complexing protein 2) | DPP4 | -12.2 |
| delta-like 1 (<i>Drosophila</i>) | DLL1 | -12.2 |
| metastasis suppressor 1 | MTSS1 | -11.9 |
| kalirin, RhoGEF kinase | KALRN | -11.7 |
| heparan sulfate (glucosamine) 3-O-sulfotransferase 1 | HS3ST1 | -11.7 |
| ADAM-like, decysin 1 | ADAMDEC1 | -11.6 |
| hypothetical protein FLJ20701 | FLJ20701 | -11.4 |
| weetey homolog 2 (<i>Drosophila</i>) | TTYH2 | -11.2 |
| immunoglobulin superfamily, member 4 | IGSF4 | -10.8 |
| armadillo repeat containing 9 | ARMC9 | -10.5 |
| CD93 molecule | CD93 | -10.5 |
| urotensin 2 | UTS2 | -10.1 |
| synaptotagmin I | SYT1 | -10.1 |
| gasdermin 1 | GSDM1 | -9.9 |
| heparan sulfate (glucosamine) 3-O-sulfotransferase 2 | HS3ST2 | -9.9 |
| transmembrane protein 37 | TMEM37 | -9.8 |
| fibulin 5 | FBLN5 | -9.7 |
| corticotropin releasing hormone binding protein | CRHBP | -9.7 |
| chromosome 20 open reading frame 26 | C20orf26 | -9.6 |
| potassium inwardly-rectifying channel, subfamily J, member 5 | KCNJ5 | -9.5 |
| latent transforming growth factor beta binding protein 2 | LTBP2 | -9.5 |
| endothelin receptor type B | EDNRB | -9.5 |

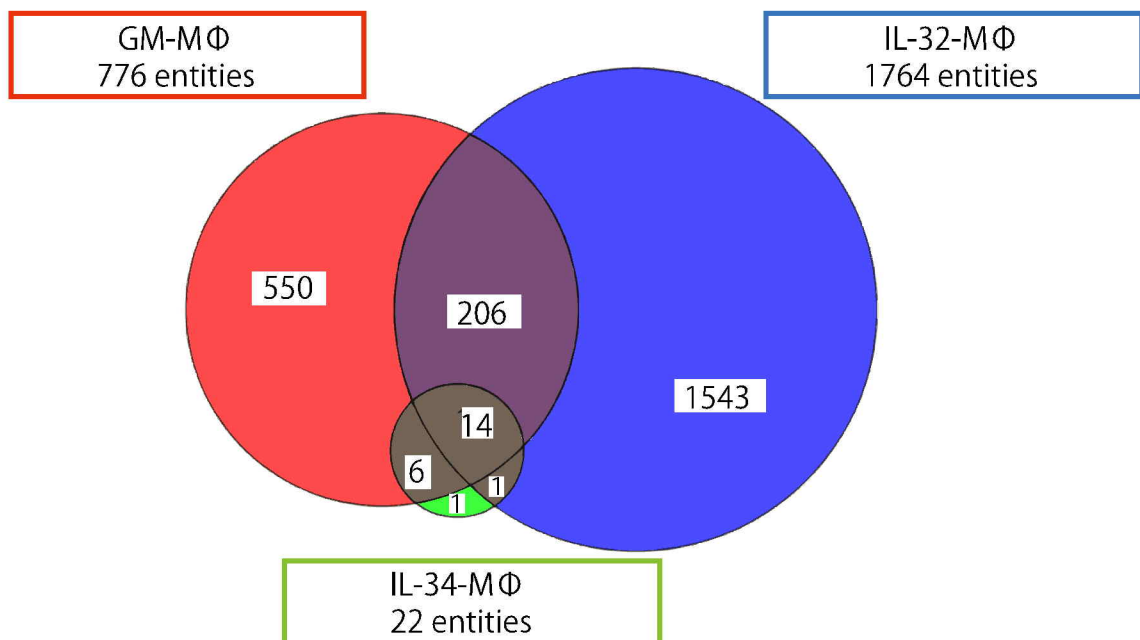
表2-3A. IL-34-M中で発現が増加した遺伝子(上位50)

| Gene Name | Gene Symbol | Fold change (IL-34:M) |
|---|-------------|--------------------------|
| peroxiredoxin 2 | PRDX2 | 3.9 |
| chaperonin containing TCP1, subunit 7 (eta) | CCT7 | 3.8 |
| Rho GTPase activating protein 30 | ARHGAP30 | 3.7 |
| Kruppel-like factor 4 (gut) | KLF4 | 3.4 |
| death-associated protein | DAP | 3.2 |
| ATP synthase, H ⁺ transporting, mitochondrial F1 complex, delta subunit | ATP5D | 3.1 |
| transient receptor potential cation channel, subfamily C, member 4 associated protein | TRPC4AP | 3.1 |
| TatD DNase domain containing 2 | TATDN2 | 3.0 |
| FtsJ homolog 2 (E. coli) | FTSJ2 | 2.9 |
| KIAA0971 | KIAA0971 | 2.9 |
| chromosome 9 open reading frame 32 | C9orf32 | 2.8 |
| hematological and neurological expressed 1 | HN1 | 2.7 |
| chemokine (C-C motif) ligand 13 | CCL13 | 2.7 |
| KIAA0406 gene product | KIAA0406 | 2.4 |
| cut-like 1, CCAAT displacement protein (Drosophila) | CUTL1 | 2.3 |
| coiled-coil domain containing 97 | CCDC97 | 2.3 |
| lysosomal-associated membrane protein 3 | LAMP3 | 2.2 |
| olfactomedin 1 | OLFM1 | 2.2 |
| chromosome 21 open reading frame 86 | C21orf86 | 2.1 |
| TNFAIP3 interacting protein 3 | TNIP3 | 2.1 |
| secretogranin V (7B2 protein) | SCG5 | 2.1 |
| pyruvate kinase, muscle | PKM2 | 2.0 |
| chemokine (C-C motif) receptor 2 | CCR2 | 2.0 |
| similar to MUF1 protein | LOC440970 | 2.0 |
| mitochondrial ribosomal protein L54 | MRPL54 | 1.9 |
| glucosidase, alpha acid (Pompe disease, glycogen storage disease type II) | GAA | 1.8 |
| germ cell associated 1 | GSG1 | 1.8 |
| A kinase (PRKA) anchor protein 8-like | AKAP8L | 1.8 |
| similar to G1 to S phase transition protein 1 homolog (GTP-binding protein GST1-HS) | LOC643855 | 1.8 |
| glutamate receptor, metabotropic 3 | GRM3 | 1.8 |
| suppressor of cytokine signaling 2 | SOCS2 | 1.8 |
| hypothetical protein LOC642815 | FLJ36868 | 1.8 |
| MAP3K12 binding inhibitory protein 1 | MBIP | 1.8 |
| similar to spermine synthase | LOC391799 | 1.8 |
| ankyrin repeat and MYND domain containing 2 | ANKMY2 | 1.7 |
| HDCMA18P protein | HDCMA18P | 1.7 |
| hypothetical protein LOC649598 | FLJ46309 | 1.7 |
| Dnaj (Hsp40) homolog, subfamily C, member 17 | DNAJC17 | 1.7 |
| similar to bovine IgA regulatory protein | LOC492311 | 1.7 |
| neuromedin B | NMB | 1.7 |
| golgi phosphoprotein 4 | GOLPH4 | 1.7 |
| similar to similar to protein of unknown function | LOC653567 | 1.7 |
| intelectin 1 (galactofuranose binding) | ITLN1 | 1.7 |
| RGM domain family, member B | RGMB | 1.7 |
| breast carcinoma amplified sequence 1 | BCAS1 | 1.7 |
| family with sequence similarity 81, member A | FAM81A | 1.7 |
| similar to ribosomal protein S11 | LOC645138 | 1.7 |
| HESB like domain containing 1 | HBLD1 | 1.7 |
| mannosyl (alpha-1,3)-glycoprotein beta-1,4-N-acetylglucosaminyltransferase, isozyme B | MGAT4B | 1.7 |
| olfactory receptor, family 8, subfamily I, member 2 | OR8I2 | 1.6 |

表2-3B. IL-34-M中で発現が減少した遺伝子(上位50)

| Gene Name | Gene Symbol | Fold change (IL-34:M) |
|--|---------------|--------------------------|
| carboxypeptidase A4 | CPA4 | -3.3 |
| chemokine (C-X-C motif) ligand 10 | CXCL10 | -3.3 |
| TGFB-induced factor (TALE family homeobox) | TGIF | -2.4 |
| zinc finger protein 462 | ZNF462 | -2.3 |
| six transmembrane epithelial antigen of the prostate 1 | STEAP1 | -2.2 |
| epiregulin | EREG | -2.0 |
| ribonuclease, RNase A family, 7 | RNASE7 | -2.0 |
| similar to peptidylprolyl isomerase A (cyclophilin A)-like 4 | LOC653505 | -2.0 |
| matrix-remodelling associated 7 | MXRA7 | -2.0 |
| upstream transcription factor 1 | USF1 | -2.0 |
| signal transducer and activator of transcription 3 (acute-phase response factor) | STAT3 | -2.0 |
| matrix metallopeptidase 12 (macrophage elastase) | MMP12 | -2.0 |
| gremlin 1, cysteine knot superfamily, homolog (Xenopus laevis) | GREM1 | -2.0 |
| 5-hydroxytryptamine (serotonin) receptor 1E | HTR1E | -1.9 |
| delta-like 1 (<i>Drosophila</i>) | DLL1 | -1.9 |
| family with sequence similarity 102, member B | FAM102B | -1.9 |
| stathmin 1/oncoprotein 18 | STMN1 | -1.8 |
| transmembrane protein 14A | TMEM14A | -1.8 |
| otoancorin | OTOA | -1.8 |
| transmembrane protein 46 | TMEM46 | -1.8 |
| fibronectin 1 | FN1 | -1.8 |
| collagen, type XXII, alpha 1 | COL22A1 | -1.8 |
| WNT1 inducible signaling pathway protein 1 | WISP1 | -1.8 |
| oxidised low density lipoprotein (lectin-like) receptor 1 | OLR1 | -1.8 |
| histone 1, H4c | HIST1H4C | -1.7 |
| hairy/enhancer-of-split related with YRPW motif 1 | HEY1 | -1.7 |
| cancer/testis antigen 1A | CTAG1A | -1.7 |
| pro-platelet basic protein (chemokine (C-X-C motif) ligand 7) | PPBP | -1.7 |
| poly(A) binding protein, nuclear 1 | PABPN1 | -1.7 |
| hypothetical protein LOC340529 | RP11-493K23.2 | -1.7 |
| cytochrome P450, family 8, subfamily B, polypeptide 1 | CYP8B1 | -1.7 |
| scaffold attachment factor B2 | SAFB2 | -1.7 |
| MORC family CW-type zinc finger 4 | MORC4 | -1.7 |
| interleukin 15 | IL15 | -1.7 |
| olfactory receptor, family 4, subfamily D, member 10 | OR4D10 | -1.7 |
| bone morphogenetic protein 4 | BMP4 | -1.7 |
| 5-nucleotidase, ecto (CD73) | NT5E | -1.7 |
| elastase 2A | ELA2A | -1.7 |
| similar to osteoclast-associated receptor isoform 5 | LOC441864 | -1.6 |
| junctional adhesion molecule 2 | JAM2 | -1.6 |
| cell division cycle 2, G1 to S and G2 to M | CDC2 | -1.6 |
| nucleoporin like 1 | NUPL1 | -1.6 |
| myosin binding protein C, slow type | MYBPC1 | -1.6 |
| zonadhesin | ZAN | -1.6 |
| mucin 15, cell surface associated | MUC15 | -1.6 |
| otoferlin | OTOF | -1.6 |
| KIAA2018 | KIAA2018 | -1.6 |
| hypothetical protein DKFZp566J091 | LBH | -1.6 |
| SH2 domain protein 1A, Duncans disease (lymphoproliferative syndrome) | SH2D1A | -1.6 |
| glycine/arginine rich protein 1 | GRRP1 | -1.6 |

A M-MΦとの比較で発現量が2倍以上増加した遺伝子数



B M-MΦとの比較で発現量が2倍以上減少した遺伝子数

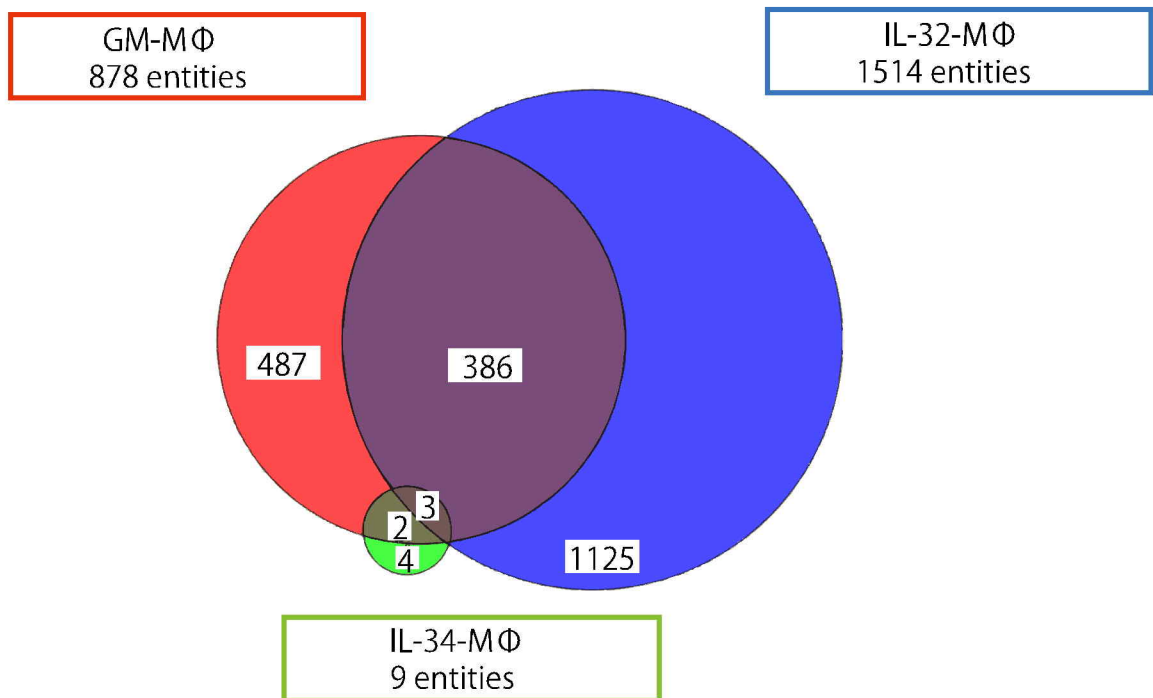


図2. サイトカイン誘導マクロファージモデル間の遺伝子発現変化

M-MΦとの比較で、発現量が2倍以上増加した遺伝子は、IL-32-MΦで1,764個、GM-MΦで776個、IL-34-MΦで22個であった(A)。

発現量が2倍以上減少した遺伝子は、IL-32-MΦで1,514個、GM-MΦで878個、IL-34-MΦで9個であった(B)。

M-MΦとの比較で発現量が2倍以上増減した遺伝子の総数は4,189個であった。

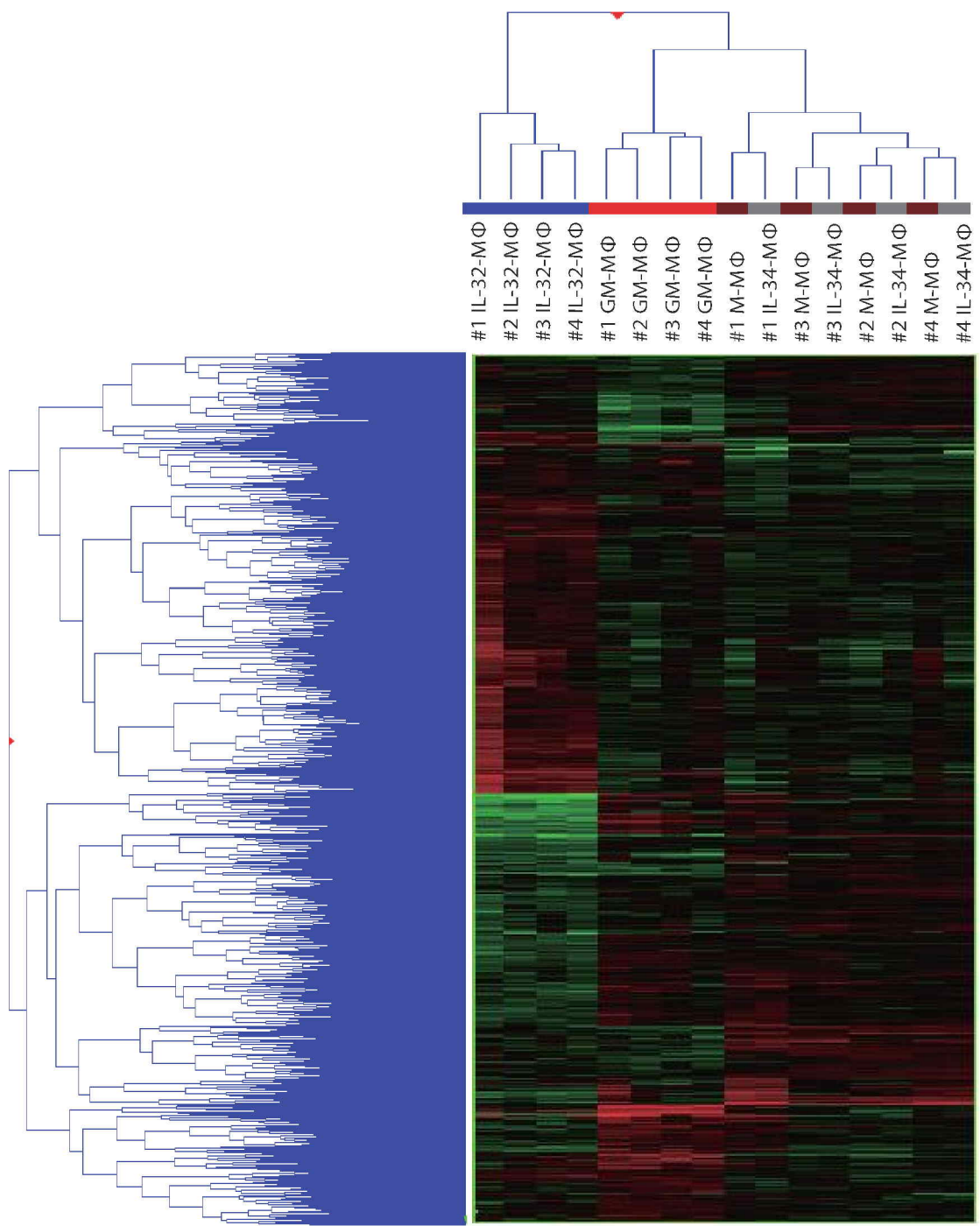


図 3. 階層的クラスタリング解析

M-MΦとの比較で発現量が 2 倍以上増減した 4,189 個の遺伝子について階層的クラスタリング解析を行った。

IL-34-MΦは M-MΦと類似のプロファイルを示した。IL-32-MΦは、M-MΦと最も離れたプロファイルを示し、GM-MΦは中間のプロファイルを示した。

表3-1. M-MΦと比較してIL-32-MΦで発現が2倍以上増加した遺伝子によるGene Ontology解析

| GO Term | GO ACCESSION | corrected p-value |
|--|---|-------------------|
| CELLULAR COMPONENT | | |
| plasma membrane | GO:0005886 GO:0005904 | 1.7E-11 |
| cell periphery | GO:0071944 | 2.8E-11 |
| membrane part | GO:0044425 | 4.4E-11 |
| intrinsic to membrane | GO:0031224 | 7.6E-10 |
| integral to membrane | GO:0016021 | 1.7E-09 |
| membrane | GO:0016020 | 2.0E-07 |
| plasma membrane part | GO:0044459 | 5.6E-06 |
| extracellular region | GO:0005576 | 1.3E-05 |
| extracellular region part | GO:0044421 | 1.8E-04 |
| integral to plasma membrane | GO:0005887 | 9.6E-04 |
| intrinsic to plasma membrane | GO:0031226 | 1.1E-03 |
| extracellular space | GO:0005615 | 1.2E-03 |
| cellular_component | GO:0005575 GO:0008372 | 4.6E-02 |
| BIOLOGICAL PROCESS | | |
| cell surface receptor linked signaling pathway | GO:0007166 | 9.9E-12 |
| G-protein coupled receptor protein signaling pathway | GO:0007186 | 4.1E-11 |
| signal transmission | GO:0023060 | 9.9E-11 |
| signaling process | GO:0023046 | 9.9E-11 |
| signal transduction | GO:0007165 | 1.9E-10 |
| response to stimulus | GO:0050896 GO:0051869 | 6.3E-10 |
| signaling | GO:0023052 | 2.0E-09 |
| sensory perception of smell | GO:0007608 | 4.5E-09 |
| sensory perception of chemical stimulus | GO:0007606 | 1.0E-08 |
| multicellular organismal process | GO:0032501 GO:0050874 | 1.2E-07 |
| defense response | GO:0006952 GO:0002217 GO:0042829 | 1.2E-07 |
| sensory perception | GO:0007600 | 1.4E-07 |
| inflammatory response | GO:0006954 | 3.6E-06 |
| response to wounding | GO:0009611 GO:0002245 | 3.9E-06 |
| immune system process | GO:0002376 | 1.3E-05 |
| system process | GO:0003008 | 1.6E-05 |
| signaling pathway | GO:0023033 | 1.6E-05 |
| neurological system process | GO:0050877 | 2.6E-05 |
| immune response | GO:0006955 | 5.5E-05 |
| biological regulation | GO:0065007 | 7.5E-03 |
| regulation of cellular process | GO:0050794 GO:0051244 | 8.0E-03 |
| taxis | GO:0042330 | 8.1E-03 |
| chemotaxis | GO:0006935 | 8.1E-03 |
| regulation of biological process | GO:0050789 GO:0050791 | 1.8E-02 |
| cell adhesion | GO:0007155 | 2.6E-02 |
| biological adhesion | GO:0022610 | 2.6E-02 |
| locomotion | GO:0040011 | 2.9E-02 |
| response to chemical stimulus | GO:0042221 | 3.6E-02 |
| lung development | GO:0030324 | 4.2E-02 |
| MOLECULAR FUNCTION | | |
| signal transducer activity | GO:0004871 GO:0005062 GO:0009369 GO:0009370 | 6.0E-12 |
| molecular transducer activity | GO:0060089 | 6.0E-12 |
| receptor activity | GO:0004872 GO:0019041 | 1.2E-11 |
| transmembrane receptor activity | GO:0004888 GO:0004926 | 3.4E-11 |
| olfactory receptor activity | GO:0004984 | 4.9E-10 |
| G-protein coupled receptor activity | GO:0004930 GO:0001622 GO:0001623 GO:0001624 GO:0001625 GO:0016526 | 6.3E-09 |
| G-protein-coupled receptor binding | GO:0001664 | 4.8E-04 |
| chemokine receptor binding | GO:0042379 | 1.6E-02 |
| cytokine activity | GO:0005125 | 4.6E-02 |
| chemokine activity | GO:0008009 | 4.9E-02 |

表3-2. M-MΦと比較してGM-MΦで発現が2倍以上増加した遺伝子によるGene Ontology解析

| GO Term | GO ACCESSION | corrected p-value |
|--|-----------------------|-------------------|
| CELLULAR COMPONENT | | |
| membrane part | GO:0044425 | 1.0E-02 |
| membrane | GO:0016020 | 1.1E-02 |
| extracellular region | GO:0005576 | 2.0E-02 |
| plasma membrane part | GO:0044459 | 2.2E-02 |
| intrinsic to membrane | GO:0031224 | 2.2E-02 |
| integral to membrane | GO:0016021 | 4.0E-02 |
| plasma membrane | GO:0005886 GO:0005904 | 4.4E-02 |
| extracellular space | GO:0005615 | 4.6E-02 |
| BIOLOGICAL PROCESS | | |
| immune system process | GO:0002376 | 1.9E-06 |
| immune response | GO:0006955 | 4.2E-04 |
| cytokine-mediated signaling pathway | GO:0019221 | 6.8E-03 |
| DNA-dependent DNA replication initiation | GO:0006270 GO:0042024 | 1.4E-02 |
| lipid biosynthetic process | GO:0008610 | 2.2E-02 |
| sterol metabolic process | GO:0016125 | 4.0E-02 |
| MOLECULAR FUNCTION | | |
| cytokine binding | GO:0019955 GO:0019965 | 9.2E-03 |
| cytokine receptor activity | GO:0004896 GO:0004907 | 2.2E-02 |
| cytokine receptor binding | GO:0005126 | 2.2E-02 |
| growth factor binding | GO:0019838 | 2.4E-02 |

表4-1. GO immune system process, immune responseに含まれ、IL-32-M中で発現が2倍以上増加した遺伝子(アルファベット順)

| Gene Name | RefSeq | Description |
|-----------|--------------|--|
| ADA | NM_000022 | adenosine deaminase |
| AQP9 | NM_020980 | aquaporin 9 |
| BCL11A | NM_022893 | B-cell CLL/lymphoma 11A (zinc finger protein) |
| BCL3 | NM_005178 | B-cell CLL/lymphoma 3 |
| C3 | NM_000064 | complement component 3 |
| C6 | NM_000065 | complement component 6 |
| CCL18 | NM_002988 | chemokine (C-C motif) ligand 18 (pulmonary and activation-regulated) |
| CCL19 | NM_006274 | chemokine (C-C motif) ligand 19 |
| CCL2 | NM_002982 | chemokine (C-C motif) ligand 2 |
| CCL20 | NM_004591 | chemokine (C-C motif) ligand 20 |
| CCL23 | NM_005064 | chemokine (C-C motif) ligand 23 |
| CCL24 | NM_002991 | chemokine (C-C motif) ligand 24 |
| CCL7 | NM_006273 | chemokine (C-C motif) ligand 7 |
| CCL8 | NM_005623 | chemokine (C-C motif) ligand 8 |
| CCR2 | NM_000647 | chemokine (C-C motif) receptor 2 |
| CCR5 | NM_000579 | chemokine (C-C motif) receptor 5 |
| CD2 | NM_001767 | CD2 molecule |
| CD22 | NM_001771 | CD22 molecule |
| CD300LF | NM_139018 | CD300 molecule-like family member f |
| CD79A | NM_001783 | CD79a molecule, immunoglobulin-associated alpha |
| CFP | NM_002621 | complement factor properdin |
| CLCF1 | NM_013246 | cardiotrophin-like cytokine factor 1 |
| CLEC4E | NM_014358 | C-type lectin domain family 4, member E |
| CNR2 | NM_001841 | cannabinoid receptor 2 (macrophage) |
| CTSG | NM_001911 | cathepsin G |
| DEFB4 | NM_004942 | defensin, beta 4 |
| DLL1 | NM_005618 | delta-like 1 (<i>Drosophila</i>) |
| EDN1 | NM_001955 | endothelin 1 |
| FCRL4 | NM_031282 | Fc receptor-like 4 |
| FLT3 | NM_004119 | fms-related tyrosine kinase 3 |
| HAMP | NM_021175 | hepcidin antimicrobial peptide |
| IBRDC3 | NM_153341 | IBR domain containing 3 |
| ICOSLG | NM_015259 | inducible T-cell co-stimulator ligand |
| IL22 | NM_020525 | interleukin 22 |
| IL2RA | NM_000417 | interleukin 2 receptor, alpha |
| IL32 | NM_001012631 | interleukin 32 |
| IL7 | NM_000880 | interleukin 7 |
| IL7R | NM_002185 | interleukin 7 receptor |
| IL8 | NM_000584 | interleukin 8 |
| IRAK2 | NM_001570 | interleukin-1 receptor-associated kinase 2 |
| IRF4 | NM_002460 | interferon regulatory factor 4 |
| KIAA1914 | NM_001001936 | KIAA1914 |
| LILRA4 | NM_012276 | leukocyte immunoglobulin-like receptor, subfamily A (with TM domain), member 4 |
| LYN | NM_002350 | v-yes-1 Yamaguchi sarcoma viral related oncogene homolog |
| MARCO | NM_006770 | macrophage receptor with collagenous structure |
| MEIS1 | NM_002398 | Meis1, myeloid ecotropic viral integration site 1 homolog (mouse) |
| NCF1 | NM_000265 | neutrophil cytosolic factor 1, (chronic granulomatous disease, autosomal 1) |
| NFIL3 | NM_005384 | nuclear factor, interleukin 3 regulated |
| OLR1 | NM_002543 | oxidised low density lipoprotein (lectin-like) receptor 1 |
| ONECUT1 | NM_004498 | one cut domain, family member 1 |
| OSM | NM_020530 | oncostatin M |

表4-1. 続き

| Gene Name | RefSeq | Description |
|-----------|--------------|---|
| PF4 | NM_002619 | platelet factor 4 (chemokine (C-X-C motif) ligand 4) |
| POU2AF1 | NM_006235 | POU domain, class 2, associating factor 1 |
| POU2F2 | NM_002698 | POU domain, class 2, transcription factor 2 |
| S100A7 | NM_002963 | S100 calcium binding protein A7 (psoriasin 1) |
| SLAMF7 | NM_021181 | SLAM family member 7 |
| SP100 | NM_003113 | SP100 nuclear antigen |
| SPN | NM_001030288 | sialophorin (gpL115, leukosialin, CD43) |
| TAL1 | NM_003189 | T-cell acute lymphocytic leukemia 1 |
| TIMP1 | NM_003254 | TIMP metallopeptidase inhibitor 1 |
| TRAT1 | NM_016388 | T cell receptor associated transmembrane adaptor 1 |
| TRPC4AP | NM_015638 | transient receptor potential cation channel, subfamily C, member 4 associated protein |
| ULBP1 | NM_025218 | UL16 binding protein 1 |
| VTN | NM_000638 | vitronectin |
| XBP1 | NM_005080 | X-box binding protein 1 |

表4-2. GO immune system process, immune responseに含まれ、GM-M中で発現が2倍以上増加した遺伝子(アルファベット順)

| Gene Name | RefSeq | Description |
|-----------|-----------|---|
| ACE | NM_000789 | angiotensin I converting enzyme (peptidyl-dipeptidase A) 1 |
| AIM2 | NM_004833 | absent in melanoma 2 |
| APLN | NM_017413 | apelin, AGTRL1 ligand |
| AQP9 | NM_020980 | aquaporin 9 |
| BCAR1 | NM_014567 | breast cancer anti-estrogen resistance 1 |
| BTLA | NM_181780 | B and T lymphocyte associated |
| CCL17 | NM_002987 | chemokine (C-C motif) ligand 17 |
| CCL18 | NM_002988 | chemokine (C-C motif) ligand 18 (pulmonary and activation-regulated) |
| CCL20 | NM_004591 | chemokine (C-C motif) ligand 20 |
| CCL23 | NM_005064 | chemokine (C-C motif) ligand 23 |
| CCL24 | NM_002991 | chemokine (C-C motif) ligand 24 |
| CCR2 | NM_000647 | chemokine (C-C motif) receptor 2 |
| CD1A | NM_001763 | CD1a molecule |
| CD1B | NM_001764 | CD1b molecule |
| CD1C | NM_001765 | CD1c molecule |
| CD2 | NM_001767 | CD2 molecule |
| CD274 | NM_014143 | CD274 molecule |
| CD300LF | NM_139018 | CD300 molecule-like family member f |
| CEACAM8 | NM_001816 | carcinoembryonic antigen-related cell adhesion molecule 8 |
| CSF1 | NM_172210 | colony stimulating factor 1 (macrophage) |
| CTSW | NM_001335 | cathepsin W (lymphopain) |
| EDG6 | NM_003775 | endothelial differentiation, lysophosphatidic acid G-protein-coupled receptor, 6 |
| EDN1 | NM_001955 | endothelin 1 |
| FLT3 | NM_004119 | fms-related tyrosine kinase 3 |
| G6PD | NM_000402 | glucose-6-phosphate dehydrogenase |
| ICOS | NM_012092 | inducible T-cell co-stimulator |
| IL1RAP | NM_002182 | interleukin 1 receptor accessory protein |
| IL1RAP | NM_134470 | interleukin 1 receptor accessory protein |
| IL27RA | NM_004843 | interleukin 27 receptor, alpha |
| IL2RA | NM_000417 | interleukin 2 receptor, alpha |
| IL7 | NM_000880 | interleukin 7 |
| IL7R | NM_002185 | interleukin 7 receptor |
| IRF4 | NM_002460 | interferon regulatory factor 4 |
| KIT | NM_000222 | v-kit Hardy-Zuckerman 4 feline sarcoma viral oncogene homolog |
| LOC340061 | NM_198282 | hypothetical protein LOC340061 |
| LTA | NM_000595 | lymphotoxin alpha (TNF superfamily, member 1) |
| MARCO | NM_006770 | macrophage receptor with collagenous structure |
| MEIS1 | NM_002398 | Meis1, myeloid ecotropic viral integration site 1 homolog (mouse) |
| MYD88 | NM_002468 | myeloid differentiation primary response gene (88) |
| OASL | NM_003733 | 2'-5'-oligoadenylate synthetase-like |
| OLR1 | NM_002543 | oxidised low density lipoprotein (lectin-like) receptor 1 |
| PF4 | NM_002619 | platelet factor 4 (chemokine (C-X-C motif) ligand 4) |
| PPBP | NM_002704 | pro-platelet basic protein (chemokine (C-X-C motif) ligand 7) |
| SLAMF1 | NM_003037 | signaling lymphocytic activation molecule family member 1 |
| SMAD6 | NM_005585 | SMAD, mothers against DPP homolog 6 (Drosophila) |
| TAL1 | NM_003189 | T-cell acute lymphocytic leukemia 1 |
| TM7SF4 | NM_030788 | transmembrane 7 superfamily member 4 |
| TNFSF14 | NM_003807 | tumor necrosis factor (ligand) superfamily, member 14 |
| TREM1 | NM_018643 | triggering receptor expressed on myeloid cells 1 |
| TRPC4AP | NM_015638 | transient receptor potential cation channel, subfamily C, member 4 associated protein |
| ULBP2 | NM_025217 | UL16 binding protein 2 |
| VTN | NM_000638 | vitronectin |

表5-1.M-MΦと比較して IL-32-MΦでenrichされたKEGG gene set

| Gene Set Name | Normalized enrichment score | Normalized p-value |
|---|-----------------------------|--------------------|
| KEGG_CYTOSOLIC_DNA_SENSING_PATHWAY | 1.40 | 0.00 |
| KEGG_RIG_I_LIKE_RECECTOR_SIGNALING_PATHWAY | 1.47 | 0.02 |
| KEGG_N,GLYCAN BIOSYNTHESIS | 1.43 | 0.04 |
| KEGG_LYSOSOME | 1.44 | 0.05 |
| KEGG_RETINOL_METABOLISM | 1.45 | 0.06 |
| KEGG_EPITHELIAL_CELL_SIGNALING_IN_Helicobacter_pylori_INFECTION | 1.38 | 0.07 |
| KEGG_OLFACtORY_TRANSDUCTION | 1.45 | 0.07 |
| KEGG_PROTEASOME | 1.49 | 0.08 |
| KEGG_BASAL_CELL_CARCINOMA | 1.26 | 0.12 |
| KEGG_GLYCEROLIPID_METABOLISM | 1.39 | 0.12 |
| KEGG_STEROID_HORMONE_BIOSYNTHESIS | 1.33 | 0.13 |
| KEGG_REGULATION_OF_AUTOPHAGY | 1.43 | 0.15 |
| KEGG_DRUG_METABOLISM_Cytochrome_P450 | 1.26 | 0.15 |
| KEGG_METABOLISM_OF_XENOBIOTICS_BY_Cytochrome_P450 | 1.33 | 0.15 |
| KEGG_FATTY_ACID_METABOLISM | 1.25 | 0.16 |
| KEGG_CYTOKINE_CYTOKINE_RECECTOR_INTERACTION | 1.30 | 0.16 |
| KEGG_APoPTosis | 1.21 | 0.17 |
| KEGG_NOTCH_SIGNALING_PATHWAY | 1.16 | 0.17 |
| KEGG_PORPHYRIN_AND_CHLOROPHYLL_METABOLISM | 1.21 | 0.23 |
| KEGG_STARCH_AND_SUCROSE_METABOLISM | 1.21 | 0.23 |
| KEGG_PPAR_SIGNALING_PATHWAY | 1.13 | 0.24 |
| KEGG_DORSO_VENTRAL_AXIS_FORMATION | 1.16 | 0.26 |
| KEGG_AMINO_SUGAR_AND_NUCLEOTIDE_SUGAR_METABOLISM | 1.14 | 0.26 |
| KEGG_TIGHT_JUNCTION | 1.13 | 0.27 |
| KEGG_RNA_POLYMERASE | 1.23 | 0.28 |
| KEGG_ANTIGEN_PROCESSING_AND_PRESENTATION | 1.23 | 0.28 |
| KEGG_SPHINGOLIPID_METABOLISM | 1.19 | 0.28 |
| KEGG_FRUCTOSE_AND_MANNOSE_METABOLISM | 1.09 | 0.30 |
| KEGG_TYROSINE_METABOLISM | 1.11 | 0.30 |
| KEGG_TRyPTOPHAN_METABOLISM | 1.06 | 0.31 |
| KEGG_Ether_LIPID_METABOLISM | 1.02 | 0.33 |
| KEGG_PRIMARY_IMMUNODEFICIENCY | 1.09 | 0.35 |
| KEGG_TGF_BETA_SIGNALING_PATHWAY | 1.03 | 0.36 |
| KEGG_ARACHIDONIC_ACID_METABOLISM | 1.06 | 0.36 |
| KEGG_AMYOTROPHIC_LATERAL_SCLEROSIS_ALS | 1.07 | 0.36 |
| KEGG_DRUG_METABOLISM_OTHER_ENZYMEs | 1.06 | 0.37 |
| KEGG_B_CELL_RECECTOR_SIGNALING_PATHWAY | 1.02 | 0.38 |
| KEGG_ARRHYTHMOGENIC_RIGHT_VENTRICULAR_CARDIOMYOPATHY_ARVC | 0.99 | 0.41 |
| KEGG_ADipoCYTOKINE_SIGNALING_PATHWAY | 1.04 | 0.43 |
| KEGG_TOLL_LIKE_RECECTOR_SIGNALING_PATHWAY | 1.02 | 0.43 |
| KEGG_PROTEIN_EXPORT | 0.99 | 0.45 |
| KEGG_LEISHMANIA_INFECTION | 1.00 | 0.48 |
| KEGG_NOD_LIKE_RECECTOR_SIGNALING_PATHWAY | 0.99 | 0.49 |
| KEGG_JAK_STAT_SIGNALING_PATHWAY | 0.95 | 0.49 |
| KEGG_ADHERENS_JUNCTION | 0.94 | 0.52 |
| KEGG_CHEMOKINE_SIGNALING_PATHWAY | 0.96 | 0.53 |
| KEGG_AMINOACYL_TRNA_BIOSYNTHESIS | 0.85 | 0.55 |
| KEGG_AUTOIMMUNE_THYROID_DISEASE | 1.04 | 0.56 |
| KEGG_SPLICEOSOME | 0.98 | 0.56 |
| KEGG_GALACTOSE_METABOLISM | 0.90 | 0.56 |

表5-1. 続き

| Gene Set Name | Normalized enrichment score | Normalized p-value |
|---|-----------------------------|--------------------|
| KEGG_TASTE_TRANSDUCTION | 0.91 | 0.57 |
| KEGG_NATURAL_KILLER_CELL_MEDIATED_CYTOTOXICITY | 0.84 | 0.57 |
| KEGG_MELANOGENESIS | 0.93 | 0.57 |
| KEGG_RIBOSOME | 0.89 | 0.59 |
| KEGG_FC_GAMMA_R_MEDIATED_PHAGOCYTOSIS | 0.97 | 0.59 |
| KEGG_CELL_ADHESION_MOLECULES_CAMS | 0.82 | 0.61 |
| KEGG_VIRAL_MYOCARDITIS | 0.84 | 0.63 |
| KEGG_ACUTE_MYELOID_LEUKEMIA | 0.87 | 0.65 |
| KEGG_LINOLEIC_ACID_METABOLISM | 0.79 | 0.66 |
| KEGG_LEUKOCYTE_TRANSENDOTHELIAL_MIGRATION | 0.91 | 0.66 |
| KEGG_INTESTINAL_IMMUNE_NETWORK_FOR_IGA_PRODUCTION | 0.83 | 0.66 |
| KEGG_GLYCOSAMINOGLYCAN BIOSYNTHESIS_HEPARAN_SULFATE | 0.83 | 0.67 |
| KEGG_VIBRIO_CHOLERAE_INFECTION | 0.79 | 0.68 |
| KEGG_TYPE_II_DIABETES_MELLITUS | 0.87 | 0.69 |
| KEGG_NEUROTROPHIN_SIGNALING_PATHWAY | 0.88 | 0.70 |
| KEGG_HUNTINGTONS_DISEASE | 0.81 | 0.72 |
| KEGG_NEUROACTIVE_LIGAND_RECECTOR_INTERACTION | 0.82 | 0.74 |
| KEGG_GRAFT_VERSUS_HOST_DISEASE | 0.80 | 0.74 |
| KEGG_HEDGEHOG_SIGNALING_PATHWAY | 0.78 | 0.75 |
| KEGG_NITROGEN_METABOLISM | 0.73 | 0.79 |
| KEGG_HISTIDINE_METABOLISM | 0.66 | 0.79 |
| KEGG_ASTHMA | 0.66 | 0.80 |
| KEGG_SELENOAMINO_ACID_METABOLISM | 0.76 | 0.81 |
| KEGG_PROXIMAL_TUBULE_BICARBONATE_RECLAMATION | 0.70 | 0.83 |
| KEGG_T_CELL_RECECTOR_SIGNALING_PATHWAY | 0.80 | 0.83 |
| KEGG_RENAL_CELL_CARCINOMA | 0.78 | 0.84 |
| KEGG_GLYCOSAMINOGLYCAN_DEGRADATION | 0.67 | 0.86 |
| KEGG_CYSTEINE_AND_METHIONINE_METABOLISM | 0.74 | 0.87 |
| KEGGARGININE_AND_PROLINE_METABOLISM | 0.76 | 0.89 |
| KEGG_PARKINSONS_DISEASE | 0.53 | 0.91 |
| KEGG_OXIDATIVE_PHOSPHORYLATION | 0.46 | 0.93 |
| KEGG_PATHOGENIC_ESCHERICHIA_COLI_INFECTION | 0.57 | 0.96 |
| KEGG_ALLOGRAFT_REJECTION | 0.53 | 0.97 |

表5-2. M-MΦと比較してGM-MΦでenrichされたKEGG gene set

| Gene Set Name | Normalized enrichment score | Normalized p-value |
|---|-----------------------------|--------------------|
| KEGG_SELENOAMINO_ACID_METABOLISM | 1.70 | 0.00 |
| KEGG_HEMATOPOIETIC_CELL_LINEAGE | 1.56 | 0.00 |
| KEGG_PRION_DISEASES | 1.56 | 0.00 |
| KEGG_ADHERENS_JUNCTION | 1.55 | 0.00 |
| KEGG_N,GLYCAN BIOSYNTHESIS | 1.55 | 0.00 |
| KEGG_PROTEASOME | 1.52 | 0.00 |
| KEGG_AMINOACYL_TRNA BIOSYNTHESIS | 1.46 | 0.00 |
| KEGG_ONE_CARBON_POOL_BY_FOLATE | 1.46 | 0.00 |
| KEGG_PRIMARY_IMMUNODEFICIENCY | 1.51 | 0.02 |
| KEGG_VIRAL_MYOCARDITIS | 1.48 | 0.02 |
| KEGG GLUTATHIONE_METABOLISM | 1.46 | 0.02 |
| KEGG_DRUG_METABOLISM_OTHER_ENZYMES | 1.57 | 0.03 |
| KEGG_PURINE_METABOLISM | 1.33 | 0.03 |
| KEGG_PPAR_SIGNALING_PATHWAY | 1.51 | 0.03 |
| KEGG_BETA_ALANINE_METABOLISM | 1.44 | 0.03 |
| KEGG_DNA_REPLICATION | 1.64 | 0.03 |
| KEGG_PYRIMIDINE_METABOLISM | 1.48 | 0.03 |
| KEGG_RNA_DEGRADATION | 1.41 | 0.03 |
| KEGG_ACUTE_MYELOID_LEUKEMIA | 1.36 | 0.05 |
| KEGG_PROPANOATE_METABOLISM | 1.45 | 0.06 |
| KEGG_VALINE LEUCINE AND ISOLEUCINE DEGRADATION | 1.31 | 0.06 |
| KEGG_PATHOGENIC_ESCHERICHIA_COLI_INFECTION | 1.36 | 0.06 |
| KEGG_NITROGEN_METABOLISM | 1.41 | 0.08 |
| KEGG_TGF_BETA_SIGNALING_PATHWAY | 1.23 | 0.09 |
| KEGG_ARRHYTHMOGENIC_RIGHT_VENTRICULAR_CARDIOMYOPATHY_ARVC | 1.36 | 0.09 |
| KEGG_THYROID_CANCER | 1.36 | 0.11 |
| KEGG_MISMATCH_REPAIR | 1.44 | 0.11 |
| KEGG_PEROXISOME | 1.39 | 0.12 |
| KEGG_TIGHT_JUNCTION | 1.24 | 0.12 |
| KEGG_NUCLEOTIDE_EXCISION_REPAIR | 1.41 | 0.13 |
| KEGG_TYPE_II_DIABETES_MELLITUS | 1.21 | 0.14 |
| KEGG_FATTY_ACID_METABOLISM | 1.26 | 0.14 |
| KEGG_SPLICEOSOME | 1.30 | 0.14 |
| KEGG_REGULATION_OF_ACTIN_CYTOSKELETON | 1.13 | 0.14 |
| KEGG_RNA_POLYMERASE | 1.39 | 0.15 |
| KEGG_CELL_ADHESION MOLECULES CAMS | 1.24 | 0.15 |
| KEGG_ENDOMETRIAL_CANCER | 1.22 | 0.17 |
| KEGG_STEROID_HORMONE BIOSYNTHESIS | 1.27 | 0.17 |
| KEGG_APOPTOSIS | 1.15 | 0.18 |
| KEGG_PARKINSONS_DISEASE | 1.39 | 0.18 |
| KEGG_GLYCOLYSIS_GLUconeogenesis | 1.26 | 0.19 |
| KEGG_FRUCTOSE_AND_MANNOSE_METABOLISM | 1.36 | 0.20 |
| KEGG_PENTOSE_PHOSPHATE_PATHWAY | 1.30 | 0.20 |
| KEGG_AMINO_SUGAR_AND_NUCLEOTIDE_SUGAR_METABOLISM | 1.21 | 0.21 |
| KEGG_BASE_EXCISION_REPAIR | 1.23 | 0.21 |
| KEGG_COLONRECTAL_CANCER | 1.27 | 0.22 |
| KEGG_CITRATE_CYCLE_TCA_CYCLE | 1.29 | 0.22 |
| KEGG_HUNTINGTONS_DISEASE | 1.21 | 0.26 |
| KEGG_CELL_CYCLE | 1.20 | 0.27 |
| KEGG_TRYPTOPHAN_METABOLISM | 1.11 | 0.30 |

表5-2. 続き

| Gene Set Name | Normalized enrichment score | Normalized p-value |
|---|-----------------------------|--------------------|
| KEGG_STARCH_AND_SUCROSE_METABOLISM | 1.14 | 0.30 |
| KEGG_ALZHEIMERS_DISEASE | 1.13 | 0.30 |
| KEGG_OXIDATIVE_PHOSPHORYLATION | 1.19 | 0.31 |
| KEGG_HISTIDINE_METABOLISM | 1.09 | 0.32 |
| KEGG_CYTOKINE_CYTOKINE_RECECTOR_INTERACTION | 1.10 | 0.32 |
| KEGG_PYRUVATE_METABOLISM | 1.13 | 0.32 |
| KEGG_GALACTOSE_METABOLISM | 1.15 | 0.33 |
| KEGG_SYSTEMIC_LUPUS_ERYTHEMATOSUS | 1.17 | 0.34 |
| KEGG_LEUKOCYTE_TRANSENDOTHELIAL_MIGRATION | 1.05 | 0.34 |
| KEGG_HOMOLOGOUS_RECOMBINATION | 1.19 | 0.37 |
| KEGG_TYPE_I_DIABETES_MELLITUS | 1.08 | 0.37 |
| KEGG_LEISHMANIA_INFECTION | 1.08 | 0.40 |
| KEGG_BUTANOATE_METABOLISM | 1.05 | 0.41 |
| KEGG_ALANINE ASPARTATE_AND GLUTAMATE_METABOLISM | 1.02 | 0.42 |
| KEGG_PORPHYRIN_AND_CHLOROPHYLL_METABOLISM | 1.01 | 0.42 |
| KEGG_INTESTINAL_IMMUNE_NETWORK_FOR_IgA_PRODUCTION | 1.06 | 0.42 |
| KEGG_GLYCOSYLPHOSPHATIDYLINOSITOL_GPI_ANCHOR BIOSYNTHESIS | 1.09 | 0.44 |
| KEGG_COMPLEMENT_AND_COAGULATION_CASCADES | 1.04 | 0.46 |
| KEGG_TYROSINE_METABOLISM | 1.04 | 0.48 |
| KEGG_GRAFT_VERSUS_HOST_DISEASE | 0.93 | 0.49 |
| KEGG,GLYCEROPHOSPHOLIPID_METABOLISM | 0.93 | 0.50 |
| KEGG_PANCREATIC_CANCER | 0.96 | 0.50 |
| KEGG_GLYCOSPHINGOLIPID BIOSYNTHESIS_LACTO_AND_NEOLACTO_SERIES | 0.89 | 0.52 |
| KEGG_PROSTATE_CANCER | 0.93 | 0.53 |
| KEGG_AMYOTROPHIC_LATERAL_SCLEROSIS_ALS | 0.98 | 0.54 |
| KEGG,GLYCEROLIPID_METABOLISM | 0.88 | 0.54 |
| KEGG_PROXIMAL_TUBULE_BICARBONATE_RECLAMATION | 0.89 | 0.55 |
| KEGG_METABOLISM_OF_XENOBIOTICS_BY_CYTOCHROME_P450 | 0.98 | 0.56 |
| KEGG_RETINOL_METABOLISM | 0.92 | 0.56 |
| KEGG_ARACHIDONIC_ACID_METABOLISM | 0.89 | 0.56 |
| KEGG_INSULIN_SIGNALING_PATHWAY | 0.97 | 0.57 |
| KEGG_BLADDER_CANCER | 0.97 | 0.58 |
| KEGG_BASAL_TRANSCRIPTION_FACTORS | 0.92 | 0.59 |
| KEGG_STEROID BIOSYNTHESIS | 0.83 | 0.59 |
| KEGG_CARDIAC_MUSCLE_CONTRACTION | 0.89 | 0.59 |
| KEGG_LYSINE_DEGRADATION | 0.86 | 0.62 |
| KEGG_ASTHMA | 0.85 | 0.63 |
| KEGG_CYTOSOLIC_DNA_SENSING_PATHWAY | 0.88 | 0.64 |
| KEGG_RIBOSOME | 0.81 | 0.66 |
| KEGG_CHEMOKINE_SIGNALING_PATHWAY | 0.88 | 0.68 |
| KEGG_ALLOGRAFT_REJECTION | 0.79 | 0.69 |
| KEGG_NON_SMALL_CELL_LUNG_CANCER | 0.85 | 0.70 |
| KEGG_AUTOIMMUNE_THYROID_DISEASE | 0.69 | 0.73 |
| KEGG_OLFFACTORY_TRANSDUCTION | 0.55 | 0.83 |
| KEGG_BASAL_CELL_CARCINOMA | 0.77 | 0.83 |
| KEGG_VEGF_SIGNALING_PATHWAY | 0.82 | 0.84 |
| KEGG_LINOLEIC_ACID_METABOLISM | 0.56 | 0.94 |

表6-1. KEGG_TOLL_LIKE_RECECTOR_SIGNALING_PATHWAY gene setにおけるIL-32-MΦの発現比(対M-MΦ)

| Gene Name | Description | Fold change |
|-----------|---|-------------|
| IFNA10 | interferon, alpha 10 | 5.67 |
| IFNA17 | interferon, alpha 17 | 5.06 |
| IL8 | interleukin 8 | 5.01 |
| IFNA4 | interferon, alpha 4 | 4.48 |
| IKBKE | inhibitor of kappa light polypeptide gene enhancer in B-cells, kinase epsilon | 3.69 |
| IL6 | interleukin 6 (interferon, beta 2) | 3.48 |
| IFNA14 | interferon, alpha 14 | 3.00 |
| MAP3K8 | mitogen-activated protein kinase kinase kinase 8 | 2.89 |
| IFNA16 | interferon, alpha 16 | 2.68 |
| IFNA7 | interferon, alpha 7 | 2.61 |
| IFNA6 | interferon, alpha 6 | 2.58 |
| NFKB1 | nuclear factor of kappa light polypeptide gene enhancer in B-cells 1 (p105) | 2.17 |
| CD80 | CD80 molecule | 2.12 |
| IL12B | interleukin 12B (natural killer cell stimulatory factor 2, cytotoxic lymphocyte maturation factor 2, p40) | 2.02 |
| IL1B | interleukin 1, beta | 1.97 |
| MAPK1 | mitogen-activated protein kinase 1 | 1.93 |
| IFNAR1 | interferon (alpha, beta and omega) receptor 1 | 1.86 |
| CHUK | conserved helix-loop-helix ubiquitous kinase | 1.67 |
| MYD88 | myeloid differentiation primary response gene (88) | 1.65 |
| PIK3R5 | phosphoinositide-3-kinase, regulatory subunit 5, p101 | 1.65 |
| IRF5 | interferon regulatory factor 5 | 1.43 |
| RIPK1 | receptor (TNFRSF)-interacting serine-threonine kinase 1 | 1.39 |
| IFNA5 | interferon, alpha 5 | 1.34 |
| CD86 | CD86 molecule | 1.33 |
| IFNA13 | interferon, alpha 13 | 1.32 |
| IFNA21 | interferon, alpha 21 | 1.32 |
| IRAK1 | interleukin-1 receptor-associated kinase 1 | 1.31 |
| MAPK11 | mitogen-activated protein kinase 11 | 1.29 |
| TBK1 | TANK-binding kinase 1 | 1.28 |
| NFKBIA | nuclear factor of kappa light polypeptide gene enhancer in B-cells inhibitor, alpha | 1.27 |
| CD14 | CD14 molecule | 1.27 |
| MAPK12 | mitogen-activated protein kinase 12 | 1.26 |
| TRAF6 | TNF receptor-associated factor 6 | 1.26 |
| TLR8 | toll-like receptor 8 | 1.25 |
| CD14 | CD14 molecule | 1.24 |
| AKT3 | v-akt murine thymoma viral oncogene homolog 3 (protein kinase B, gamma) | 1.23 |
| IFNAR2 | interferon (alpha, beta and omega) receptor 2 | 1.22 |
| IRF7 | interferon regulatory factor 7 | 1.20 |
| PIK3CD | phosphoinositide-3-kinase, catalytic, delta polypeptide | 1.20 |

表6-2. KEGG_NOD_LIKE_RECEPATOR_SIGNALING_PATHWAY gene setにおけるIL-32-M中の発現比(対M-MΦ)

| Gene Name | Description | Fold change |
|-----------|---|-------------|
| IL8 | interleukin 8 | 5.01 |
| BIRC3 | baculoviral IAP repeat-containing 3 | 3.06 |
| NFKBIB | nuclear factor of kappa light polypeptide gene enhancer in B-cells inhibitor, beta | 2.26 |
| TNFAIP3 | tumor necrosis factor, alpha-induced protein 3 | 2.22 |
| CCL2 | chemokine (C-C motif) ligand 2 | 2.17 |
| NFKB1 | nuclear factor of kappa light polypeptide gene enhancer in B-cells 1 (p105) | 2.17 |
| CCL8 | chemokine (C-C motif) ligand 8 | 2.09 |
| IL1B | interleukin 1, beta | 1.97 |
| MAPK1 | mitogen-activated protein kinase 1 | 1.93 |
| PYDC1 | PYD (pyrin domain) containing 1 | 1.69 |
| CHUK | conserved helix-loop-helix ubiquitous kinase | 1.67 |
| CASP5 | caspase 5, apoptosis-related cysteine peptidase | 1.37 |
| MAPK11 | mitogen-activated protein kinase 11 | 1.29 |
| NFKBIA | nuclear factor of kappa light polypeptide gene enhancer in B-cells inhibitor, alpha | 1.27 |
| MAPK12 | mitogen-activated protein kinase 12 | 1.26 |
| PYCARD | PYD and CARD domain containing | 1.26 |
| TRAF6 | TNF receptor-associated factor 6 | 1.26 |
| HSP90AA1 | heat shock protein 90kDa alpha (cytosolic), class A member 1 | 1.23 |

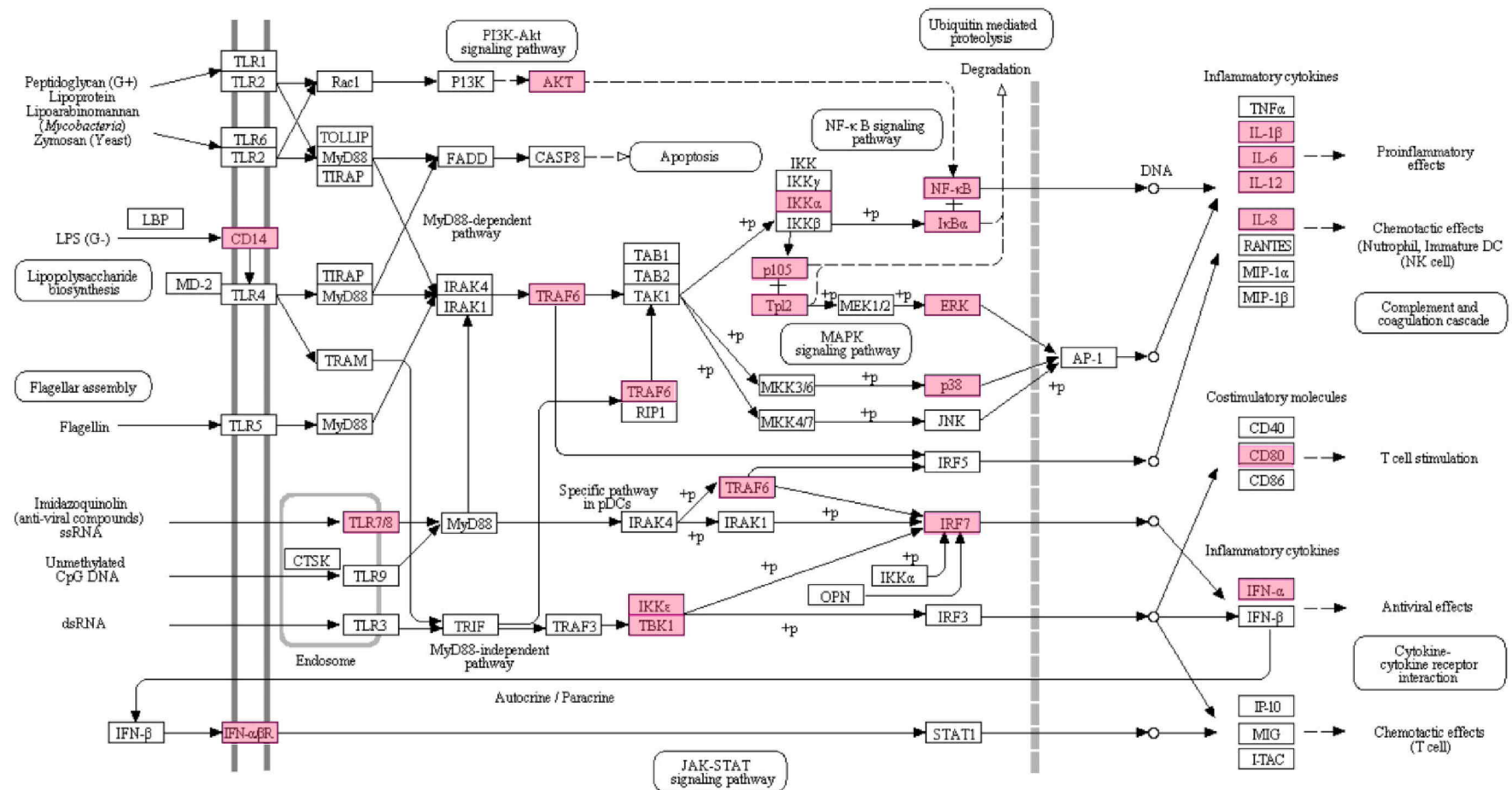


図4A. KEGG Toll like receptor signaling pathway

TLR signaling pathwayはMyD88 dependent pathwayとMyD88 independent pathwayに大別され、MyD88 dependent pathwayの下流ではNF-kappa-B signaling pathwayやMAPK signaling pathwayを活性化し炎症性サイトカインを産生する。MyD88 independent pathwayの下流ではIFNを産生する。

IL-32-MΦでM-MΦと比較して発現が1.2倍以上増加した遺伝子を赤で示す。NF-kappa-B, MAPK1(ERK), MAPK11/12(p38)と、その下流のIL-8, IL-6, IL-12 β , IL-1 β の発現が増加した。

(KEGG pathway databaseより引用)

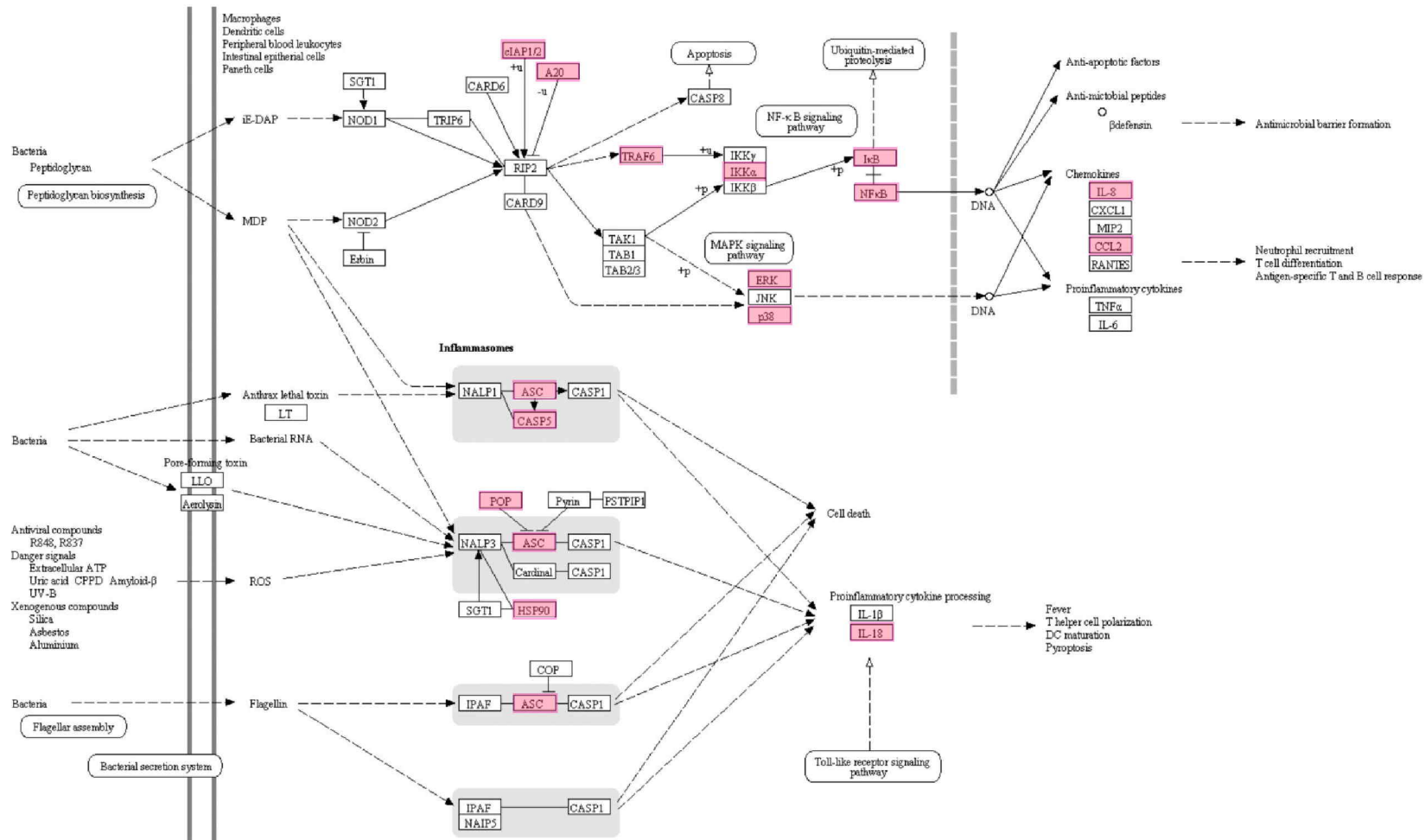


図4B. KEGG Nod like receptor signaling pathway

NLR signaling pathway の主要な PRRs である NOD1,NOD2 の下流では TLR signaling pathway と同様に NF-kappa-B signaling pathway や MAPK signaling pathway が活性化し炎症性サイトカインが産生される。IL-32-MΦで M-MΦと比較して発現が 1.2 倍以上増加した遺伝子を赤で示す。NF-kappa-B、MAPK1(ERK),MAPK11/12(p38) と、その下流の IL-8、CCL2 の発現が増加した。

(KEGG pathway databaseより引用)

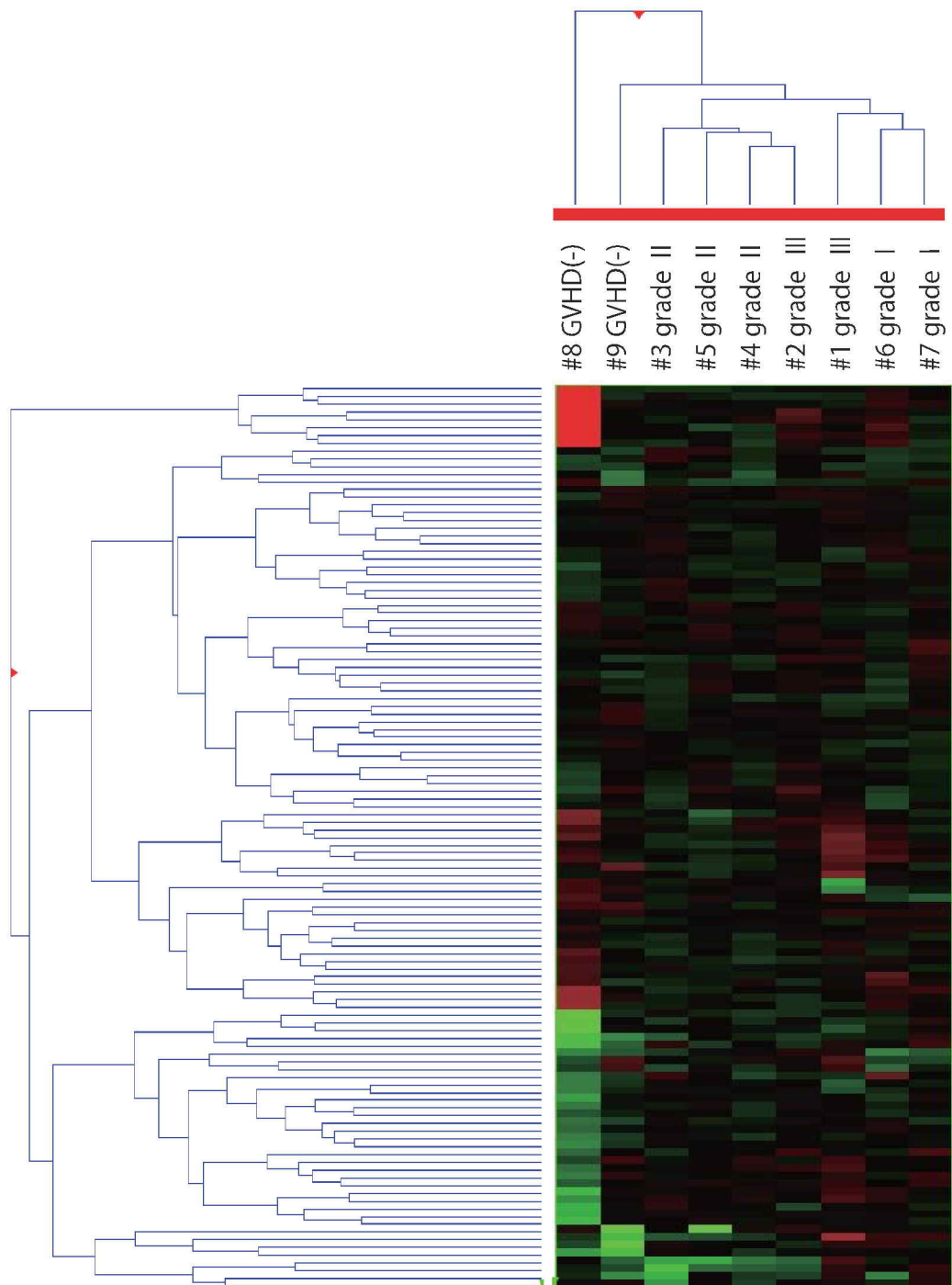


図 5A. KEGG Toll like receptor signaling pathway における造血幹細胞移植患者単球の遺伝子発現クラスタリング解析

KEGG TLR signaling pathway に含まれる遺伝子の造血幹細胞移植患者 9 名 (#1-#9) の単球における発現について階層的クラスタリング解析を行った。

何らかの急性 GVHD を発症した症例と急性 GVHD を発症しなかった症例でクラスタリングされる傾向を認めた。

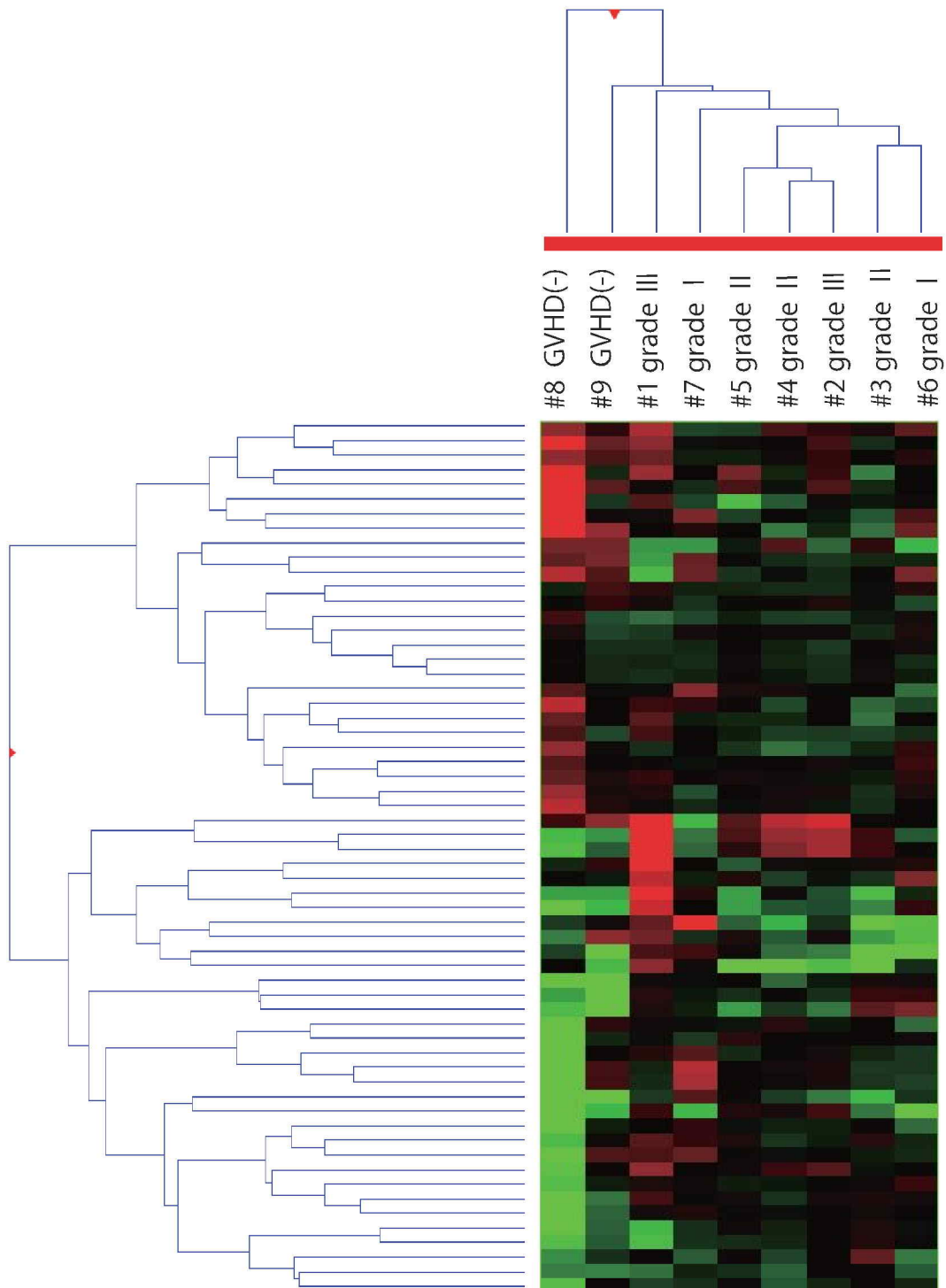


図 5B. KEGG Nod like receptor signaling pathway における造血幹細胞移植患者
単球の遺伝子発現クラスタリング解析

KEGG NLR signaling pathway に含まれる遺伝子の造血幹細胞移植患者 9 名 (#1-#9)
の単球における発現について階層的クラスタリング解析を行った。

TLR signaling pathway と同様に、何らかの急性 GVHD を発症した症例と急性 GVHD
を発症しなかった症例でクラスタリングされる傾向を認めた。

表7-1. KEGG_TOLL_LIKE_RECECTOR_SIGNALING_PATHWAY gene setにおける急性GVHD発症患者単球の発現比(対 非発症患者単球)

| Gene Name | Description | Fold change |
|-----------|---|-------------|
| IFNAR1 | interferon (alpha, beta and omega) receptor 1 | 11.73 |
| MAP3K7 | mitogen-activated protein kinase kinase 7 | 9.80 |
| MAP2K3 | mitogen-activated protein kinase kinase 3 | 7.97 |
| TNF | tumor necrosis factor (TNF superfamily, member 2) | 6.91 |
| PIK3R5 | phosphoinositide-3-kinase, regulatory subunit 5, p101 | 6.13 |
| STAT1 | signal transducer and activator of transcription 1, 91kDa | 6.10 |
| CCL4 | chemokine (C-C motif) ligand 4 | 5.76 |
| LBR | lamin B receptor | 4.23 |
| IRF5 | interferon regulatory factor 5 | 3.98 |
| CD14 | CD14 molecule | 3.91 |
| LY96 | lymphocyte antigen 96 | 3.67 |
| MAP2K6 | mitogen-activated protein kinase kinase 6 | 3.28 |
| PIK3R1 | phosphoinositide-3-kinase, regulatory subunit 1 (p85 alpha) | 3.26 |
| MAP3K8 | mitogen-activated protein kinase kinase kinase 8 | 3.24 |
| TLR5 | toll-like receptor 5 | 3.00 |
| TBK1 | TANK-binding kinase 1 | 2.96 |
| CASP8 | caspase 8, apoptosis-related cysteine peptidase | 2.87 |
| CTSK | cathepsin K (pycnodysostosis) | 2.72 |
| RELA | v-rel reticuloendotheliosis viral oncogene homolog A, nuclear factor of kappa light polypeptide gene enhancer in B-cells 3, p65 (avian) | 2.69 |
| MAPK1 | mitogen-activated protein kinase 1 | 2.65 |
| MAPK9 | mitogen-activated protein kinase 9 | 2.42 |
| MAP2K7 | mitogen-activated protein kinase kinase 7 | 2.34 |
| TICAM2 | toll-like receptor adaptor molecule 2 | 2.25 |
| AKT1 | v-akt murine thymoma viral oncogene homolog 1 | 2.19 |
| IKBKG | inhibitor of kappa light polypeptide gene enhancer in B-cells, kinase gamma | 1.88 |

表7-1. 続き

| Gene Name | Description | Fold change |
|-----------|---|-------------|
| IRAK1 | interleukin-1 receptor-associated kinase 1 | 1.76 |
| AKT3 | v-akt murine thymoma viral oncogene homolog 3 (protein kinase B, gamma) | 1.75 |
| PIK3CB | phosphoinositide-3-kinase, catalytic, beta polypeptide | 1.73 |
| IL1B | interleukin 1, beta | 1.57 |
| TRAF6 | TNF receptor-associated factor 6 | 1.57 |
| CHUK | conserved helix-loop-helix ubiquitous kinase | 1.52 |
| AKT2 | v-akt murine thymoma viral oncogene homolog 2 | 1.50 |
| IRAK4 | interleukin-1 receptor-associated kinase 4 | 1.47 |
| IL6 | interleukin 6 (interferon, beta 2) | 1.44 |
| IFNAR2 | interferon (alpha, beta and omega) receptor 2 | 1.43 |
| FADD | Fas (TNFRSF6)-associated via death domain | 1.39 |
| TLR8 | toll-like receptor 8 | 1.36 |
| PIK3R3 | phosphoinositide-3-kinase, regulatory subunit 3 (p55, gamma) | 1.35 |
| IFNAR2 | interferon (alpha, beta and omega) receptor 2 | 1.31 |
| CXCL11 | chemokine (C-X-C motif) ligand 11 | 1.29 |
| IRF7 | interferon regulatory factor 7 | 1.28 |
| TLR6 | toll-like receptor 6 | 1.23 |
| MAP2K2 | mitogen-activated protein kinase kinase 2 | 1.21 |

表7-2. KEGG_NOD_LIKE_RECECTOR_SIGNALING_PATHWAY gene setにおける急性GVHD発症患者単球の発現比(対 非発症患者単球)

| Gene Name | Description | Fold change |
|-----------|---|-------------|
| IL18 | interleukin 18 (interferon-gamma-inducing factor) | 10.86 |
| MAP3K7 | mitogen-activated protein kinase kinase kinase 7 | 9.80 |
| TNF | tumor necrosis factor (TNF superfamily, member 2) | 6.91 |
| ERBB2IP | erbB2 interacting protein | 6.91 |
| MAPK1 | mitogen-activated protein kinase 1 | 6.01 |
| PYCARD | PYD and CARD domain containing | 5.55 |
| MEFV | Mediterranean fever | 5.30 |
| PSTPIP1 | proline-serine-threonine phosphatase interacting protein 1 | 4.68 |
| TAB3 | TAK1-binding protein 3 | 4.59 |
| PYCARD | PYD and CARD domain containing | 4.22 |
| BIRC2 | baculoviral IAP repeat-containing 2 | 3.39 |
| CXCL2 | chemokine (C-X-C motif) ligand 2 | 3.27 |
| CASP8 | caspase 8, apoptosis-related cysteine peptidase | 2.87 |
| RELA | v-rel reticuloendotheliosis viral oncogene homolog A, nuclear factor of kappa light polypeptide gene enhancer in B-cells 3, p65 (avian) | 2.69 |
| MAPK9 | mitogen-activated protein kinase 9 | 2.42 |
| CXCL1 | chemokine (C-X-C motif) ligand 1 (melanoma growth stimulating activity, alpha) | 2.40 |
| MAPK3 | mitogen-activated protein kinase 3 | 2.05 |
| IKBKG | inhibitor of kappa light polypeptide gene enhancer in B-cells, kinase gamma | 1.88 |
| HSP90AB1 | heat shock protein 90kDa alpha (cytosolic), class B member 1 | 1.57 |
| IL1B | interleukin 1, beta | 1.57 |
| TRAF6 | TNF receptor-associated factor 6 | 1.57 |
| CHUK | conserved helix-loop-helix ubiquitous kinase | 1.52 |
| TNFAIP3 | tumor necrosis factor, alpha-induced protein 3 | 1.32 |

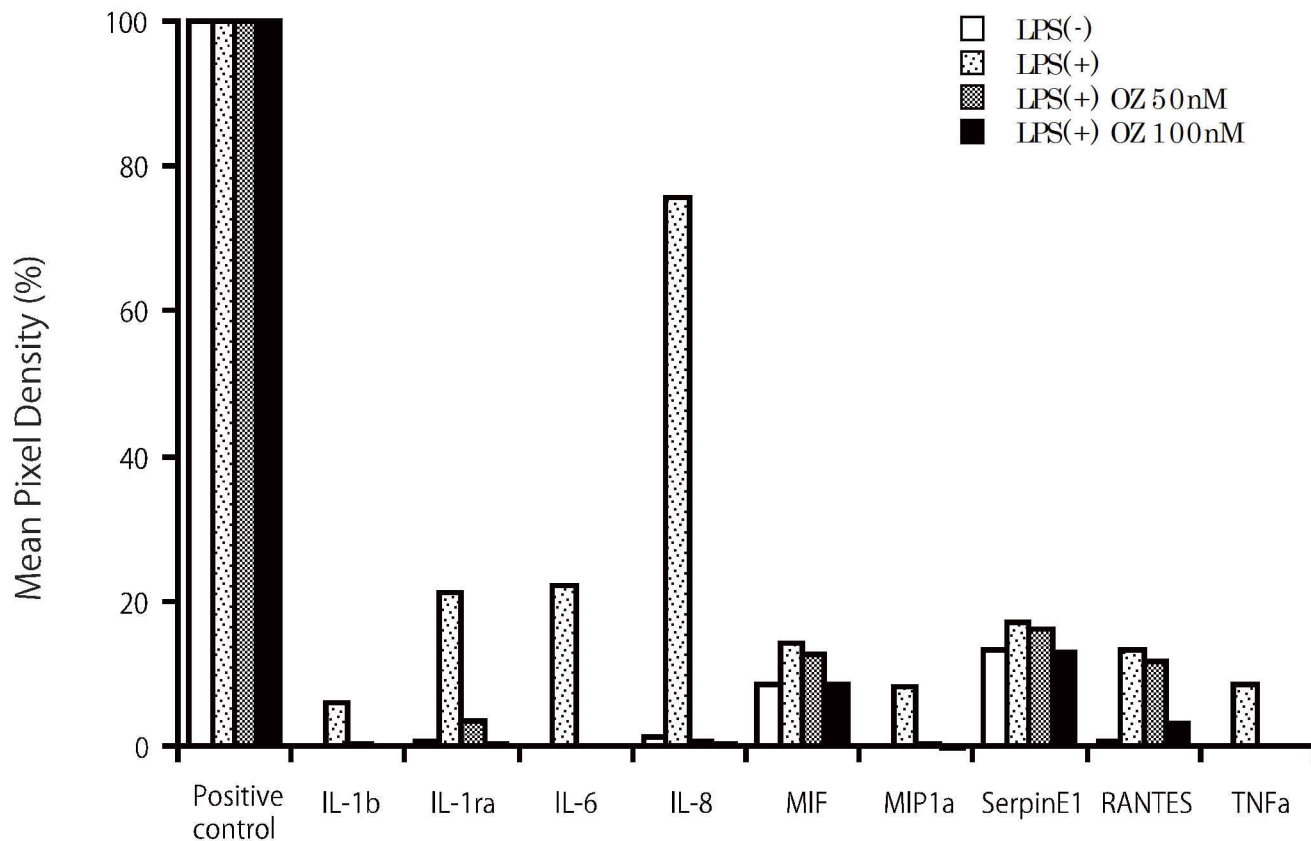


図6. サイトカインアレイによる健常人単球の上清中サイトカイン濃度の評価

サイトカインアレイで評価した36種類のサイトカインのうち、LPS刺激下の健常人単球の上清からは9種類のサイトカインが検出された。LPS刺激による増加はIL-8で最も著明であった。TNF α とIL-6はOZ 50nMにより検出感度以下に抑制された。その他のサイトカインはOZの濃度に依存して抑制された。

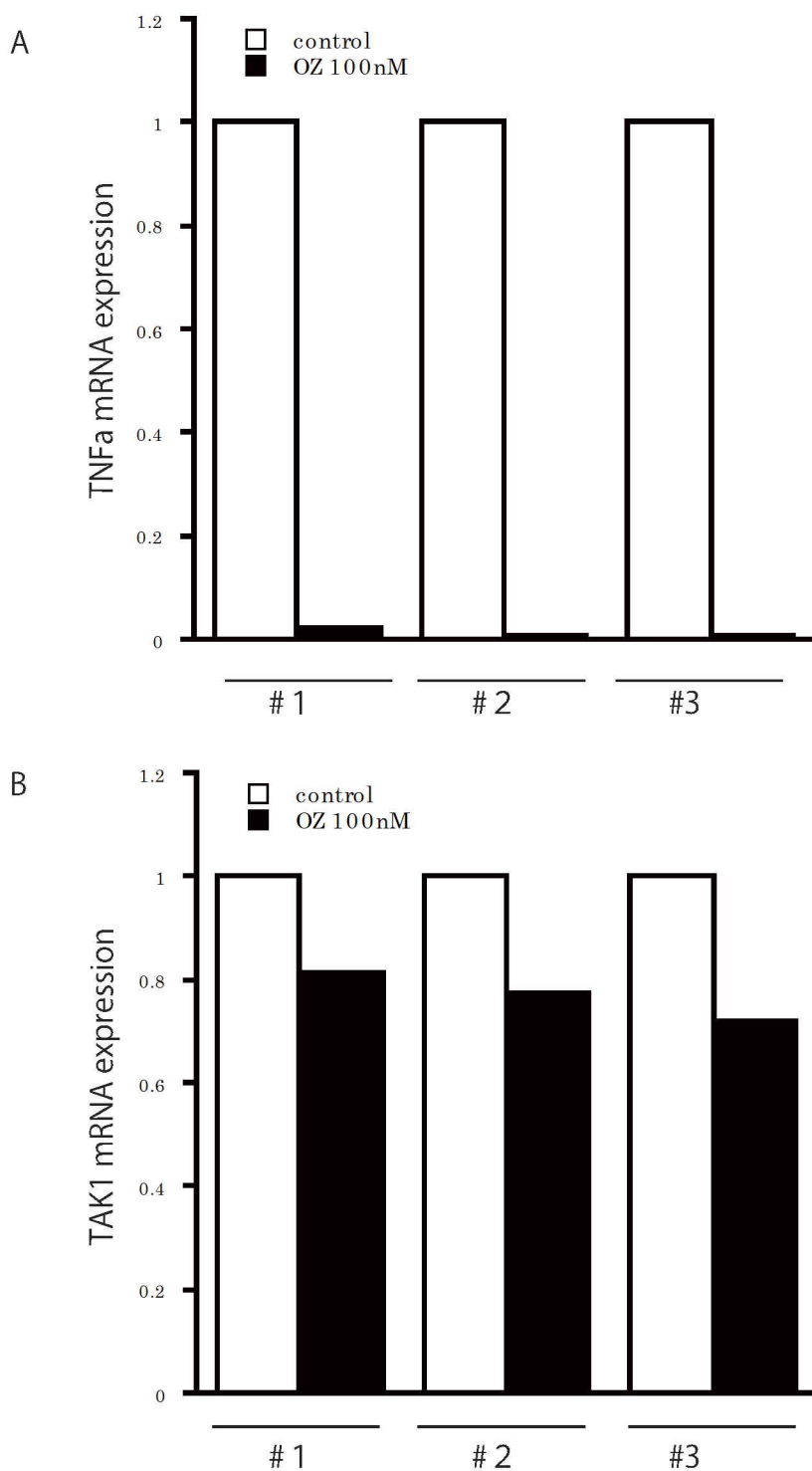
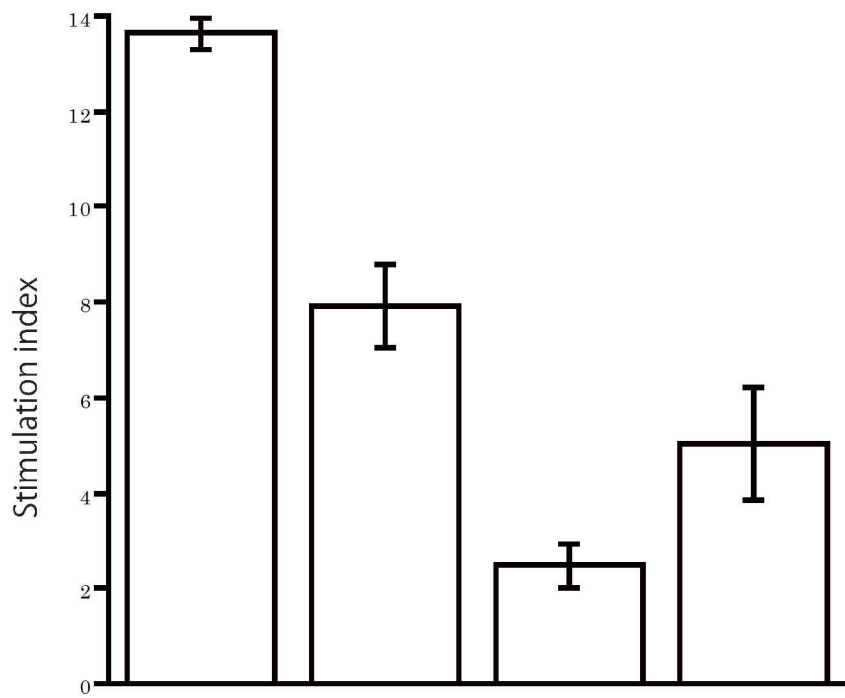


図 7. LPS 刺激下の健常被験者単球における TNFa および TAK1 の発現解析
 健常被験者 3 名 (#1-3) の単球を 5Z-Oxozeaenol(OZ)100nM で 1 時間前処理の後、
 LPS100ng/ml を加えて計 16 時間培養した。いずれの単球においても、TNFa の
 発現は OZ により低下した (A)。
 同じく健常被験者 3 名の単球において、TAK1 の発現は OZ により低下した (B)。



| | | | | | |
|------------|------|---|---|---|---|
| ドナー | リンパ球 | + | + | + | + |
| | 単球 | + | + | + | + |
| レシピエント | リンパ球 | + | + | + | + |
| | 単球 | + | + | - | - |
| OZ (100nM) | - | + | - | - | + |

図 8. 同種リンパ球混合試験における 5Z-7-Oxozeaenol(OZ) の影響

健常被験者ドナー単核球を MMC 処理した健常被験者レシピエント単核球と混合し、5 日間培養後、 ^3H チミジンを加え 24 時間培養した。

ドナー自己単核球との混合培養を基準とした ^3H チミジンの取り込みの比率から計算した Stimulation index によりドナーリンパ球の活性化を評価した。レシピエント単核球との混合培養によるドナーリンパ球の活性化は OZ により抑制された。また、レシピエント単核球から単球を除去することにより、ドナーリンパ球の活性化は抑制された。この抑制は OZ により軽減された。

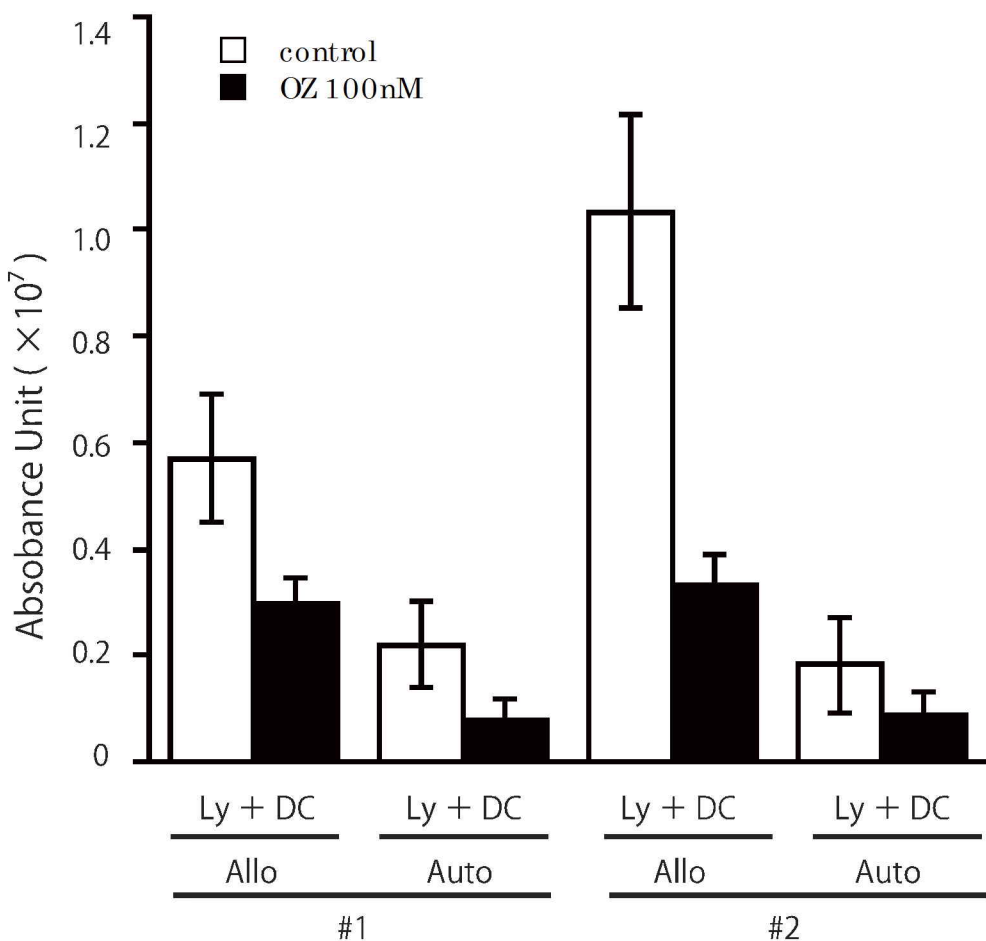


図 9. 同種樹状細胞によるTリンパ球増殖刺激における5Z-Oxozeaenol(OZ)の影響
 健常被験者のTリンパ球(Ly)と樹状細胞(DC)を30対1の割合で混合し5日間培養後、BrdUを添加して24時間培養した。培養後細胞を固定し、ペルオキシダーゼ標識抗BrdU抗体と反応後に基質を加え、化学発光により細胞増殖を評価した。
 同種樹状細胞との混合培養(Allo)により、自己樹状細胞との混合培養(Auto)と比較してTリンパ球の増殖は亢進した。OZ100nMによりAllo反応でのTリンパ球の増殖亢進は抑制された。Tリンパ球と樹状細胞の提供者を逆にした場合も(#1,#2)同様の傾向であった。